

(19) 日本国特許庁(JP)

(12) 特 許 公 報(B2)

(11) 特許番号

特許第6940862号  
(P6940862)

(45) 発行日 令和3年9月29日(2021.9.29)

(24) 登録日 令和3年9月7日(2021.9.7)

(51) Int. Cl.	F I
<b>F O 4 D 19/04 (2006.01)</b>	F O 4 D 19/04 Z
<b>F O 4 B 37/16 (2006.01)</b>	F O 4 D 19/04 G
<b>B 2 2 F 3/105 (2006.01)</b>	F O 4 B 37/16 D
	F O 4 D 19/04 D
	F O 4 B 37/16 E

請求項の数 9 (全 31 頁) 最終頁に続く

(21) 出願番号	特願2017-50326 (P2017-50326)	(73) 特許権者	000149170 株式会社大阪真空機器製作所 大阪府大阪市中央区今橋三丁目3番13号
(22) 出願日	平成29年3月15日(2017.3.15)	(74) 代理人	110001195 特許業務法人深見特許事務所
(65) 公開番号	特開2018-155110 (P2018-155110A)	(72) 発明者	井口 昌司 大阪府大阪市中央区北浜3丁目5番29号 株式会社大阪真空機器製作所内
(43) 公開日	平成30年10月4日(2018.10.4)	(72) 発明者	大林 哲郎 大阪府大阪市中央区北浜3丁目5番29号 株式会社大阪真空機器製作所内
審査請求日	令和2年2月7日(2020.2.7)	審査官	上野 力

最終頁に続く

(54) 【発明の名称】 排気システムおよびこれを備えた電子ビーム積層造形装置

(57) 【特許請求の範囲】

【請求項1】

第1吸気口および第1排気口を有するターボ分子ポンプと、  
 第2吸気口および第2排気口を有するねじ溝真空ポンプと、  
 第3吸気口および第3排気口を有する補助真空ポンプと、  
 第1ポート、第2ポートおよび第3ポートを有する三方弁とを備え、  
 前記第1排気口が、前記第2吸気口に接続され、  
 前記第1吸気口から前記第1排気口および前記第2吸気口を経由して前記第2排気口に  
 至る部分の排気路のうちの途中位置に中間排気口が設けられ、  
 前記第1ポートが、前記第2排気口に接続され、  
 前記第2ポートが、前記中間排気口に接続され、  
 前記第3ポートが、前記第3吸気口に接続され、  
 前記三方弁が、前記第1ポートと前記第3ポートとを接続する第1排気状態と、前記第  
 2ポートと前記第3ポートとを接続する第2排気状態とに選択的に切り替え可能であり、  
 前記第1排気状態において、前記第1吸気口から吸気されたガスが、前記第1排気口、  
 前記第2吸気口、前記第2排気口および前記第3吸気口をこの順で経由して、前記第3排  
 気口から排気され、  
 前記第2排気状態において、前記第1吸気口から吸気されたガスが、前記第2排気口を  
 経ることなく、前記中間排気口および前記第3吸気口をこの順で経由して、前記第3排気  
 口から排気され、

10

20

前記第 2 排気状態における前記第 1 排気口での分子量が 4 以下である軽ガスに対する補助排気速度が、前記第 1 排気状態における前記第 1 排気口での分子量が 4 以下である軽ガスに対する補助排気速度よりも小さい、排気システム。

【請求項 2】

前記第 1 吸気口と前記中間排気口との間において交互に設置された前記ターボ分子ポンプの静翼段および動翼段の合計段数が、10 段以上 12 段以下である、請求項 1 に記載の排気システム。

【請求項 3】

前記第 2 吸気口と前記第 2 排気口との間における前記ねじ溝真空ポンプのねじ溝の深さの勾配が、0 より大きく 0.04 以下である、請求項 1 または 2 に記載の排気システム。

10

【請求項 4】

前記中間排気口が、前記第 1 排気口と前記第 2 吸気口とを接続する部分の排気路に設けられている、請求項 1 から 3 のいずれかに記載の排気システム。

【請求項 5】

前記第 2 排気状態における前記第 3 吸気口での前記補助真空ポンプの排気速度が、前記第 1 排気状態における前記第 2 吸気口での前記ねじ溝真空ポンプの排気速度よりも小さい、請求項 4 に記載の排気システム。

【請求項 6】

前記中間排気口と前記第 2 ポートとを接続する部分の排気路にオリフィスが設けられている、請求項 1 から 5 のいずれかに記載の排気システム。

20

【請求項 7】

前記第 2 排気口と前記第 1 ポートとを接続する部分の排気路にブースタ真空ポンプが設置されている、請求項 1 から 5 のいずれかに記載の排気システム。

【請求項 8】

前記ターボ分子ポンプと前記ねじ溝真空ポンプとが、各々のロータが一体化された複合分子ポンプにて構成され、

前記第 1 排気口と前記第 2 吸気口とが、前記複合分子ポンプの内部において接続され、前記複合分子ポンプが、前記第 1 吸気口としての吸気ポートと、前記第 2 排気口としての第 1 排気ポートと、前記中間排気口としての第 2 排気ポートとを有している、請求項 1 から 7 のいずれかに記載の排気システム。

30

【請求項 9】

真空容器と、  
前記真空容器の内部に設置された電子ビーム発生源と、  
前記真空容器の内部に設けられ、前記電子ビーム発生源にて発生した電子ビームが金属粉末に照射されることで金属造形物を得る積層造形部と、  
前記真空容器の内部に軽ガスを導入する軽ガス供給源と、  
前記真空容器に接続された請求項 1 から 8 のいずれかに記載の排気システムとを備えた、電子ビーム積層造形装置。

【発明の詳細な説明】

【技術分野】

40

【0001】

本発明は、真空状態を作り出すための排気システムに関し、また、当該排気システムを備えてなる電子ビーム積層造形装置に関する。

【背景技術】

【0002】

真空容器としてのチャンバを備えた装置においては、チャンバ内に真空状態を作り出すために、当該チャンバに各種の真空ポンプを具備した排気システムが接続されることが一般的である。このような排気システムを備えた装置としては、たとえば電子ビーム積層造形装置がある。

【0003】

50

電子ビーム積層造形装置は、金属粉末床に高エネルギービームである電子ビームを照射することにより、所望の形状の金属造形物を積層造形するものであり、近年、特に注目を集めている。

【0004】

電子ビーム積層造形装置においては、ステージ上において金属粉末が敷き詰められることで金属粉末床が形成され、電子ビームが走査されることで当該金属粉末床に電子ビームが部分的に照射され、照射された部分の金属粉末が溶融してその後凝固し、このようにして形成された層が繰り返し積み重ねられていくことにより、立体的な金属造形物が造形される。

【0005】

ここで、電子ビーム積層造形装置においては、電子ビームの照射に伴って金属粉末床に含まれる金属粉末が帯電し、これがチャンバ内に飛散するいわゆるスモーク現象が発生することが知られている。当該スモーク現象が発生した場合には、飛散した金属粉末によって金属粉末床に対する電子ビームの照射が遮られてしまうことになり、造形速度の低下や造形精度の低下を招いてしまう。

【0006】

このスモーク現象の発生を抑制する方法として、特表2010-526694号公報(特許文献1)には、チャンバ内の真空状態を維持しつつも補助ガスとしてのヘリウムガスをチャンバ内に導入する方法が提案されている。

【0007】

より詳細には、上記特許文献1においては、チャンバ内を $10^{-3}$  [Pa]程度以下の高真空状態にまで排気した後に、金属粉末を予備加熱し、さらにその後、チャンバ内にヘリウムガスを導入してチャンバ内の圧力を $10^{-1}$  [Pa]程度に維持しつつ、電子ビームの照射による積層造形を行なうことにより、スモーク現象の発生が抑制できることが記載されている。

【0008】

当該特許文献1に記載の方法は、ヘリウムガスの衝突断面積が小さいために電子ビームがヘリウムガスによって攪き乱され難いという利点を利用しつつ、ヘリウムガスが有する低電気抵抗あるいは負の電子親和力等の利用を図ったものである。

【0009】

このように、ある種の装置においては、チャンバ内において、ヘリウムガス(He)等の軽ガス(分子量が4以下のガス)の分圧を相対的に高く保ちつつ、たとえば酸素ガス( $O_2$ )、窒素ガス( $N_2$ )、水蒸気( $H_2O$ )、アルゴンガス(Ar)等に代表される、軽ガスよりも重い非軽ガス(分子量が4より大きいガス)の分圧を相対的に低く保つことが要求される場合がある。

【0010】

なお、チャンバ内において、軽ガスの分圧を相対的に高く保ちつつ非軽ガスの分圧を相対的に低く保つことが要求される装置としては、上述したような軽ガス(特にヘリウムガス)が有する低電気抵抗あるいは負の電子親和力、軽ガスの衝突断面積が小さいために粒子線が軽ガス分子によって攪き乱され難いといった個々の利点を利用した装置や、軽ガスが高い熱伝導率を有することを利用する装置等、各種の装置があり、上述した電子ビーム積層造形装置以外にも、たとえば分子直径が小さく微小な隙間にも侵入し易いというヘリウムガスの特性を利用したヘリウムリーク検査装置等がこれに該当する。

【先行技術文献】

【特許文献】

【0011】

【特許文献1】特表2010-526694号公報

【発明の概要】

【発明が解決しようとする課題】

【0012】

10

20

30

40

50

通常、上述した電子ビーム積層造形装置のような粒子線を使用する装置に適用される排気システムは、大気圧環境下から中真空状態 ( $10^{-1}$  [Pa] ~  $10^2$  [Pa] 程度) を作り出すための油回転真空ポンプ等の補助真空ポンプと、中真空状態から高真空状態 ( $10^{-5}$  [Pa] ~  $10^{-1}$  [Pa] 程度) を作り出すための複合分子ポンプ (ターボ分子ポンプの下流側にねじ溝真空ポンプが設けられた複合ポンプ) とが組み合わされた運動量移送式機械的ポンプ系にて構成される。ここで、補助真空ポンプは、排気路上において複合分子ポンプの下流側に設置される。

【0013】

この種の排気システムを用いて上記特許文献1に記載される方法を実現しようとした場合には、ヘリウムガスを大量に消費してしまうという新たな課題が発生してしまう。

10

【0014】

具体的には、高真空状態においては、大気圧環境下あるいは低真空状態においてチャンバ内に存在していた気体分子が外部に排気されることにより、気体分子の数は当然に非常に少なくなっている反面、チャンバの内壁面やチャンバ内に設置された各種部材 (金属粉末床に含まれる金属粉末を含む) の表面からのガスの放出 (ガス分子の脱離) が無視できなくなり、この状態において排気を停止した場合には、チャンバ内の圧力が徐々に上昇してしまう。その際、放出されるガスは、主として水蒸気等の非軽ガスであるため、チャンバ内における非軽ガスの分圧もこれに伴って急激に上昇する。

【0015】

そのため、仮に上記排気システムを用いて高真空状態を作り出し、その後、チャンバ内にヘリウムガスを導入した上で各種の開閉弁を閉じることでチャンバを密封する (すなわち、排気を停止する) こととした場合には、衝突断面積が大きい非軽ガスの分圧の上昇に伴って電子ビームが減衰および散乱し、造形速度の低下や造形精度の低下を招いてしまうおそれがある。

20

【0016】

この非軽ガスの分圧の上昇を防止するためには、ヘリウムガスを常時あるいは断続的にチャンバ内に導入しつつ、上記排気システムを常時あるいは断続的に動作させることが必要になる。

【0017】

しかしながら、電子ビーム積層造形装置において、所望の形状の金属造形物を積層造形する場合に必要な時間は、比較的小さい金属造形物を造形する場合であっても1個当たり数時間から十数時間かかり、大きい金属造形物を造形する場合には数十時間以上かかるため、この間にわたってヘリウムガスを常時あるいは断続的にチャンバ内に導入した場合には、上述したようにヘリウムガスを大量に消費する結果となってしまう。

30

【0018】

なお、仮にヘリウムガスを常時あるいは断続的にチャンバ内に導入しつつも、その導入量を減少させた場合には、ヘリウムガスの消費をある程度抑制することはできるものの、チャンバ内のヘリウムガスの分圧が低下するため、スモーク現象を十分に抑制することはできない。また、ヘリウムガスの導入量を減らすとともに複合分子ポンプの排気速度を小さくすると、上述したように非軽ガスの放出を抑制することができないため、ヘリウムガスの分圧のみならず非軽ガスの分圧も上昇してしまい、結果として電子ビームが減衰および散乱することで造形速度の低下や造形精度の低下を招いてしまう。

40

【0019】

一方で、真空状態を作り出す真空ポンプの一種として、極低温面を用いて当該極低温面に気体分子を凝縮させることで排気を行なうクライオポンプが知られている。液体水素温度 ( $20$  [K]) 程度の極低温面を有し、かつ吸着剤を内蔵しないクライオポンプは、非軽ガスを排気することができる一方でヘリウムガス等の軽ガスを排気しない真空ポンプであり、これを適用することにより、軽ガスの分圧を下げずに非軽ガスの分圧の上昇を抑制することが可能になる。

【0020】

50

しかしながら、クライオポンプは、いわゆる溜め込み式の真空ポンプであるため、一定量の気体分子を凝縮させて溜め込んだ後においては、それ以上の排気が行なえなくなってしまう。そのため、クライオポンプは、極低温面の温度を室温に戻して凝縮していた気体分子を再放出させ、放出されたガスを補助ポンプ（非溜め込み式ポンプ）も用いて排気させることでその再生を行なう再生処理が必要なものであり、継続的に使用できるものではない。

【0021】

そのため、当該クライオポンプを電子ビーム積層造形装置に適用した場合には、上述した再生処理を行なうために積層造形プロセスを都度停止する必要が生じてしまい、結果として積層造形に必要な時間がさらに長時間化してしまう問題を招いてしまう。

10

【0022】

このように、従来公知の排気システムや真空ポンプは、軽ガスの分圧を相対的に高く保ちつつも非軽ガスの分圧を相対的に低く保つような真空状態を長時間にわたって維持することには不向きである課題があった。

【0023】

一方で、チャンバ内においてこのような真空状態を大気圧環境下から早期に作り出すためには、上述したようにチャンバ内から軽ガスおよび非軽ガスを同時に一旦排気し、その上で軽ガスをチャンバ内に導入することが必要になる。そのため、単に非軽ガスを選択的に主として排気できればよいというものでもない。

【0024】

20

したがって、本発明は、上述した問題を解決すべくなされたものであり、軽ガスおよび非軽ガスを同時に排気することができる一方で、非軽ガスを選択的に主として排気することもできる排気システムを提供することを目的とし、また、造形速度や造形精度に優れたつつも補助ガスの消費量を抑制することができる電子ビーム積層造形装置を提供することを目的とする。

【課題を解決するための手段】

【0025】

本発明に基づく排気システムは、第1吸気口および第1排気口を有するターボ分子ポンプと、第2吸気口および第2排気口を有するねじ溝真空ポンプと、第3吸気口および第3排気口を有する補助真空ポンプと、第1ポート、第2ポートおよび第3ポートを有する三方弁とを備えている。上記第1排気口は、上記第2吸気口に接続されており、上記第1吸気口から上記第1排気口および上記第2吸気口を経由して上記第2排気口に至る部分の排気路のうちの途中位置には、中間排気口が設けられている。上記第1ポートは、上記第2排気口に接続されており、上記第2ポートは、上記中間排気口に接続されており、上記第3ポートは、上記第3吸気口に接続されている。上記三方弁は、上記第1ポートと上記第3ポートとを接続する第1排気状態と、上記第2ポートと上記第3ポートとを接続する第2排気状態とに選択的に切り替え可能である。上記本発明に基づく排気システムにおいては、上記第1排気状態において、上記第1吸気口から吸気されたガスが、上記第1排気口、上記第2吸気口、上記第2排気口および上記第3吸気口をこの順で経由して、上記第3排気口から排気されるとともに、上記第2排気状態において、上記第1吸気口から吸気されたガスが、上記第2排気口を経ることなく、上記中間排気口および上記第3吸気口をこの順で経由して、上記第3排気口から排気される。ここで、上記第2排気状態における上記第1排気口での分子量が4以下である軽ガスに対する補助排気速度は、上記第1排気状態における上記第1排気口での分子量が4以下である軽ガスに対する補助排気速度よりも小さい。

30

40

【0026】

このような排気システムとすることにより、第1排気状態において、軽ガスおよび当該軽ガスよりも重い非軽ガスが同時に第1吸気口から吸気されて第2排気口を通じて第3排気口から排気されることになるとともに、第2排気状態において、主として非軽ガスが第1吸気口から吸気されて中間排気口を通じて第3排気口から排気されることになるとともに、

50

軽ガスおよび非軽ガスを同時に排気することができる一方で、非軽ガスを選択的に主として排気することもできる排気システムとすることができる。

【0027】

上記本発明に基づく排気システムにあつては、上記第1吸気口と上記中間排気口との間において交互に設置された上記ターボ分子ポンプの静翼段および動翼段の合計段数が、10段以上12段以下であることが好ましい。

【0028】

上記本発明に基づく排気システムにあつては、上記第2吸気口と上記第2排気口との間における上記ねじ溝真空ポンプのねじ溝の深さの勾配が、0より大きく0.04以下であることが好ましい。

【0029】

上記本発明に基づく排気システムにあつては、上記中間排気口が、上記第1排気口と上記第2吸気口とを接続する部分の排気路に設けられていてもよい。その場合には、上記第2排気状態における上記第3吸気口での上記補助真空ポンプの排気速度が、上記第1排気状態における上記第2吸気口での上記ねじ溝真空ポンプの排気速度よりも小さいことが好ましい。

【0030】

上記本発明に基づく排気システムにあつては、上記中間排気口と上記第2ポートとを接続する部分の排気路にオリフィスが設けられていてもよい。

【0031】

上記本発明に基づく排気システムにあつては、上記第2排気口と上記第1ポートとを接続する部分の排気路にブースタ真空ポンプが設置されていてもよい。

【0032】

上記本発明に基づく排気システムにあつては、上記ターボ分子ポンプと上記ねじ溝真空ポンプとが、各々のロータが一体化された複合分子ポンプにて構成されていることが好ましく、その場合には、上記第1排気口と上記第2吸気口とが、上記複合分子ポンプの内部において接続されていることが好ましい。また、その場合には、上記複合分子ポンプが、上記第1吸気口としての吸気ポートと、上記第2排気口としての第1排気ポートと、上記中間排気口としての第2排気ポートとを有していることが好ましい。

【0033】

本発明に基づく電子ビーム積層造形装置は、真空容器と、上記真空容器の内部に設置された電子ビーム発生源と、上記真空容器の内部に設けられ、上記電子ビーム発生源にて発生した電子ビームが金属粉末に照射されることで金属造形物を得る積層造形部と、上記真空容器の内部に軽ガスを導入する軽ガス供給源と、上記真空容器に接続された上記本発明に基づく排気システムとを備えている。

【0034】

このような電子ビーム積層造形装置とすることにより、真空容器から軽ガスおよび非軽ガスを同時に排気することができる一方で、非軽ガスを選択的に主として排気することも可能になるため、造形速度や造形精度に優れつつも補助ガスとしての軽ガスの消費量を抑制することができる電子ビーム積層造形装置とすることができる。

【発明の効果】

【0035】

本発明によれば、軽ガスおよび非軽ガスを同時に排気することができる一方で、非軽ガスを選択的に主として排気することもできる排気システムの実現が可能になり、また、造形速度や造形精度に優れつつも補助ガスの消費量を抑制することができる電子ビーム積層造形装置の実現が可能になる。

【図面の簡単な説明】

【0036】

【図1】実施の形態1における電子ビーム積層造形装置の概略図である。

【図2】実施の形態1における排気システムの構成を概略的に示した図である。

10

20

30

40

50

【図 3】図 2 に示す複合分子ポンプの模式断面図である。

【図 4】図 2 に示す排気システムにおける第 1 排気状態を示した図である。

【図 5】図 2 に示す排気システムにおける第 2 排気状態を示した図である。

【図 6】実施例 A, B に係るターボ分子ポンプの排気特性を示したグラフである。

【図 7】実施例 a, b, c に係るねじ溝真空ポンプのねじ溝の形状を示した模式断面図である。

【図 8】実施例 a, b, c, d に係るねじ溝真空ポンプのねじ溝の深さの勾配を示した表である。

【図 9】実施例 a, b, c に係るねじ溝真空ポンプの排気特性を示したグラフである。

【図 10】実施例 a, b, c に係るねじ溝真空ポンプと実施例 B に係るターボ分子ポンプとを組み合わせた場合の排気特性を纏めた表である。

10

【図 11】実施例 c, d に係るねじ溝真空ポンプの排気特性を示したグラフである。

【図 12】実施例 c, d に係るねじ溝真空ポンプと実施例 B に係るターボ分子ポンプとを組み合わせた場合の排気特性を纏めた表である。

【図 13】第 1 変形例に係る排気システムの構成を概略的に示した図である。

【図 14】第 2 変形例に係る排気システムの構成を概略的に示した図である。

【図 15】実施の形態 2 における排気システムの構成を概略的に示した図である。

【図 16】図 1 5 に示す複合分子ポンプの模式断面図である。

【図 17】実施の形態 3 における排気システムの構成を概略的に示した図である。

【図 18】図 1 7 に示す複合分子ポンプの模式断面図である。

20

【発明を実施するための形態】

【0037】

以下、本発明の実施の形態について、図を参照して詳細に説明する。以下に示す実施の形態は、電子ビーム積層造形装置およびこれに具備された排気システムに本発明を適用した場合を例示するものである。なお、以下に示す実施の形態においては、同一のまたは共通する部分について図中同一の符号を付し、その説明は繰り返さない。

【0038】

(実施の形態 1)

図 1 は、実施の形態 1 における電子ビーム積層造形装置の概略図である。まず、この図 1 を参照して、本実施の形態における電子ビーム積層造形装置 100 の構成について説明する。

30

【0039】

図 1 に示すように、電子ビーム積層造形装置 100 は、真空容器としてのチャンバ 110 と、電子ビーム発生源としての電子銃 120 と、金属造形物 400 を積層造形する部位である積層造形部 130 と、軽ガス供給源としてのヘリウムガス供給源 200 と、後述する本実施の形態における排気システム 1A とを主として備えている。

【0040】

チャンバ 110 は、電子銃 120、ビームアライメント 121、集束レンズ 122、対物レンズ 123 および偏光器 124 が配置された空間を規定する第 1 チャンバ部 111 と、積層造形部 130 が設けられた空間を規定する第 2 チャンバ部 112 とを有している。第 1 チャンバ部 111 の内部の空間は、電子銃室排気システム (不図示) により、超高真空状態に維持されている。一方、第 2 チャンバ部 112 の内部の空間は、排気システム 1A により、積層造形時において、補助ガスである軽ガスとしてのヘリウムガスの分圧が相対的に高く保たれつつも、非軽ガスの分圧が相対的に低く保たれた真空状態に維持される。

40

【0041】

電子銃 120 は、カソードおよびアノードを含んでおり、これらの間には所定の高電圧が印加できるように構成されている。カソードは、図示しない加熱機構によって高温の状態に加熱できるように構成されている。

【0042】

50

電子ビーム E B は、カソードが加熱機構によって加熱されることで熱電子が発生する環境下に置かれた状態において、さらにアノードとカソード間に高電圧が印加されることにより、カソードにおいて発生した熱電子がアノードによって引き出されることで発生する。

【 0 0 4 3 】

ビームアライメント 1 2 1 は、電子ビーム E B に電磁的に作用することにより、電子銃 1 2 0 から出射された電子ビーム E B の光軸を集束レンズ 1 2 2 の光軸と一致させるためのものである。

【 0 0 4 4 】

集束レンズ 1 2 2 および対物レンズ 1 2 3 は、電子ビーム E B に電磁的に作用することにより、電子ビーム E B を後述する金属粉末床の狭い範囲に集中して照射させるためのものである。

10

【 0 0 4 5 】

偏光器 1 2 4 は、電子ビーム E B に電磁的に作用することにより、電子ビーム E B を曲げることでこれを金属粉末床上において走査させるためのものである。なお、偏光器 1 2 4 は、電子銃 1 2 0 から出射された電子ビーム E B をその進行方向と交差する方向に自由に曲げることができるものであるが、図中においてはその様子を模式的に矢印 D R 1 にて示している。

【 0 0 4 6 】

積層造形部 1 3 0 は、ステージ 1 3 1 と、ホッパ 1 3 2 と、レーキ 1 3 3 と、ステージ 1 3 1 を昇降可能に駆動する図示しないステージ駆動機構とを主として有している。

20

【 0 0 4 7 】

ステージ 1 3 1 は、第 2 チャンバ部 1 1 2 の内部であって電子ビーム E B が照射可能な位置に配置されている。ステージ 1 3 1 は、その主面上に金属粉末 3 0 0 が敷き詰められることにより、これによって形成された該金属粉末床を支持する部材であり、上述したステージ駆動機構によって図中に示す矢印 D R 2 方向に昇降可能に支持されている。

【 0 0 4 8 】

ホッパ 1 3 2 およびレーキ 1 3 3 は、第 2 チャンバ部 1 1 2 の内部に配置されており、金属粉末 3 0 0 をハンドリングするためのものである。ホッパ 1 3 2 は、金属粉末 3 0 0 を内部に貯留しており、必要なタイミングで必要な量だけ金属粉末 3 0 0 をステージ 1 3 1 上に向けて供給する。レーキ 1 3 3 は、図中に示す矢印 D R 3 方向に往復動することにより、ホッパ 1 3 2 からステージ 1 3 1 上に供給された金属粉末 3 0 0 をステージ 1 3 1 上に厚みが均一になるように敷き詰める。

30

【 0 0 4 9 】

ヘリウムガス供給源 2 0 0 は、第 2 チャンバ部 1 1 2 に開閉弁 2 0 1 を介して接続されている。ヘリウムガス供給源 2 0 0 は、第 2 チャンバ部 1 1 2 内にヘリウムガスを導入するためのものであり、開閉弁 2 0 1 が開閉されることにより、ヘリウムガスが第 2 チャンバ部 1 1 2 内に必要なタイミングにおいて必要な量だけ供給される。

【 0 0 5 0 】

排気システム 1 A は、第 2 チャンバ部 1 1 2 に調整弁 2 0 2 を介して接続されている。排気システム 1 A は、第 2 チャンバ部 1 1 2 内に存在する気体分子を外部に排気することにより、第 2 チャンバ部 1 1 2 内に真空状態を作り出すためのものである。

40

【 0 0 5 1 】

本実施の形態における電子ビーム積層造形装置 1 0 0 においては、これらヘリウムガス供給源 2 0 0 および排気システム 1 A が適切に稼働されることにより、積層造形の前段階において、軽ガスの分圧と非軽ガスの分圧とが共に低く保たれた真空状態が早期に作り出されるとともに、積層造形時において、ヘリウムガスの分圧が相対的に高く保たれつつも非軽ガスの分圧が相対的に低く保たれた真空状態が維持される。

【 0 0 5 2 】

なお、第 2 チャンバ部 1 1 2 には、真空計 2 1 0 が設置されており、第 2 チャンバ部 1

50

12内の真空度は、当該真空計210によって常時計測される。この真空計210によって計測された真空度に基づき、ヘリウムガス供給源200および排気システム1Aが適切に稼働されることにより、上述した真空状態が実現される。

【0053】

積層造形時においては、まず、ホッパ132からステージ131上に供給された直径数[ $\mu\text{m}$ ]～数十[ $\mu\text{m}$ ]の金属粒子からなる金属粉末300が、レーキ133によってステージ131上に薄く敷き詰められることで金属粉末床が形成される。金属粉末床の厚みは、たとえば10[ $\mu\text{m}$ ]～100[ $\mu\text{m}$ ]程度とされる。

【0054】

次に、電子ビームEBが、ステージ131上に形成された金属粉末床に照射される。電子銃120から出射された電子ビームEBは、金属粉末床のうちの狭い範囲に部分的に照射され、このとき、偏光器124によって電子ビームEBが走査されることにより、金属粉末床のうち、積層造形すべき金属造形物400の形状に対応した位置にのみ電子ビームEBが照射される。

【0055】

これにより、電子ビームEBが照射された部分に位置する金属粉末が加熱されて熔融し、その後、加熱が解除されることでこれが凝固する。なお、金属粉末床のうち、電子ビームEBが照射されていない範囲に位置する金属粉末は、その粉末の状態が維持されることになる。

【0056】

次に、図示しないステージ駆動機構により、ステージ131が下方に向けて移動される。その際の移動量は、上述した金属粉末床の厚みと同じとされる。

【0057】

上述したステップが繰り返し実施されることにより、ステージ131上において金属造形物400が徐々に積層造形されていくことになり、金属造形物400の積層造形が完了した時点で、上述したステップの繰り返しの実施が停止される。

【0058】

なお、上述した電子ビームEBの照射ステップにおいては、電子ビームEBが照射されることによって金属粒子が熔融して凝固する過程において、既にその下層において形成されている金属造形物400の表面も共に熔融して凝固することになり、これによって各層において形成された金属凝固体が一体となって金属造形物が積層造形されることになる。

【0059】

図2は、本実施の形態における排気システムの構成を概略的に示した図である。次に、この図2を参照して、本実施の形態における排気システム1Aの構成について説明する。

【0060】

図2に示すように、排気システム1Aは、必要に応じて互いに排気管等にて接続された複合分子ポンプ10A、補助真空ポンプ20、三方弁30を主として備えている。このうち、複合分子ポンプ10Aは、ターボ分子ポンプ10aおよびねじ溝真空ポンプ10bを含む複合ポンプとして構成されており、補助真空ポンプ20は、たとえば油回転真空ポンプにて構成されている。

【0061】

複合分子ポンプ10Aは、排気システム1Aに設けられた排気路の上流側の位置に設置されており、補助真空ポンプ20は、排気システム1Aに設けられた排気路の下流側の位置に設置されている。三方弁30は、複合分子ポンプ10Aと補助真空ポンプ20とを接続する部分の排気路の所定位置に設置されている。

【0062】

複合分子ポンプ10Aに含まれるターボ分子ポンプ10aは、複合分子ポンプ10A内に形成される排気路の上流側の部分を構成しており、複合分子ポンプ10Aに含まれるねじ溝真空ポンプ10bは、複合分子ポンプ10A内に形成される排気路の下流側の部分を構成している。

10

20

30

40

50

## 【 0 0 6 3 】

ここで、図 2 に示すように、ターボ分子ポンプ 1 0 a は、第 1 吸気口 I L 1 および第 1 排気口 O L 1 を有しており、ねじ溝真空ポンプ 1 0 b は、第 2 吸気口 I L 2 および第 2 排気口 O L 2 を有している。一方、補助真空ポンプ 2 0 は、第 3 吸気口 I L 3 および第 3 排気口 O L 3 を有しており、三方弁 3 0 は、第 1 ポート P 1、第 2 ポート P 2 および第 3 ポート P 3 を有している。

## 【 0 0 6 4 】

ターボ分子ポンプ 1 0 a の第 1 吸気口 I L 1 は、複合分子ポンプ 1 0 A の吸気ポート I P を構成しており、上述した調整弁 2 0 2 を介して第 2 チャンバ部 1 1 2 に接続されている。ターボ分子ポンプ 1 0 a の第 1 排気口 O L 1 は、ねじ溝真空ポンプ 1 0 b の第 2 吸気口 I L 2 に接続されている。

10

## 【 0 0 6 5 】

ねじ溝真空ポンプ 1 0 b の第 2 吸気口 I L 2 は、上述したようにターボ分子ポンプ 1 0 a の第 1 排気口 O L 1 に接続されている。ねじ溝真空ポンプ 1 0 b の第 2 排気口 O L 2 は、複合分子ポンプ 1 0 A の第 1 排気ポート O P 1 を構成しており、三方弁 3 0 の第 1 ポート P 1 に接続されている。

## 【 0 0 6 6 】

複合分子ポンプ 1 0 A のうち、ターボ分子ポンプ 1 0 a の第 1 吸気口 I L 1 からターボ分子ポンプ 1 0 a の第 1 排気口 O L 1 およびねじ溝真空ポンプ 1 0 b の第 2 吸気口 I L 2 を経由してねじ溝真空ポンプ 1 0 b の第 2 排気口 O L 2 に至る部分の排気路の途中位置には、中間排気口 O L 5 が設けられている。

20

## 【 0 0 6 7 】

中間排気口 O L 5 は、複合分子ポンプ 1 0 A の第 2 排気ポート O P 2 を構成しており、三方弁 3 0 の第 2 ポート P 2 に接続されている。本実施の形態においては、中間排気口 O L 5 は、ターボ分子ポンプ 1 0 a の第 1 排気口 O L 1 とねじ溝真空ポンプ 1 0 b の第 2 吸気口 I L 2 とを接続する部分の排気路に設けられている。

## 【 0 0 6 8 】

補助真空ポンプ 2 0 の第 3 吸気口 I L 3 は、三方弁 3 0 の第 3 ポート P 3 に接続されている。補助真空ポンプ 2 0 の第 3 排気口 O L 3 は、大気開放されている。

## 【 0 0 6 9 】

ここで、本実施の形態における排気システム 1 A においては、三方弁 3 0 が、第 1 ポート P 1 と第 3 ポート P 3 とを接続する第 1 排気状態と、第 2 ポート P 2 と第 3 ポート P 3 とを接続する第 2 排気状態とに選択的にその切り替えが可能に構成されている。

30

## 【 0 0 7 0 】

このように構成することにより、上記第 1 排気状態において、軽ガスおよび非軽ガスが同時に複合分子ポンプ 1 0 A の吸気ポート I P から吸気されて補助真空ポンプ 2 0 の第 3 排気口 O L 3 から排気されるとともに、上記第 2 排気状態において、主として非軽ガスが複合分子ポンプ 1 0 A の吸気ポート I P から吸気されて補助真空ポンプ 2 0 の第 3 排気口 O L 3 から排気されることになるが、その詳細については後述することとする。

## 【 0 0 7 1 】

図 3 は、図 2 に示す複合分子ポンプの模式断面図である。次に、この図 3 を参照して、本実施の形態における排気システム 1 A に具備された複合分子ポンプ 1 0 A の構成について説明する。なお、上述したように、複合分子ポンプ 1 0 A は、ターボ分子ポンプ 1 0 a およびねじ溝真空ポンプ 1 0 b を含む複合ポンプとして構成されたものであり、具体的には、ターボ分子ポンプ 1 0 a のロータとねじ溝真空ポンプ 1 0 b のロータとが一体化されたものである。

40

## 【 0 0 7 2 】

図 3 に示すように、複合分子ポンプ 1 0 A は、ベース 1 1 と、ステータ 1 2 と、ケーシング 1 3 と、ロータ 1 4 と、ロータ駆動機構 1 5 とを主として有している。複合分子ポンプ 1 0 A の外殻は、このうちのベース 1 1、ステータ 1 2 およびケーシング 1 3 によって

50

構成されており、これらベース 11、ステータ 12 およびケーシングによって構成される外殻の内側には、残るロータ 14 およびロータ駆動機構 15 が収容されている。

【0073】

ベース 11 は、ステータ 12 およびロータ駆動機構 15 を支持するためのものであり、略円盤状の形状を有する金属製の部材にて構成されている。ベース 11 の所定位置には、複合分子ポンプ 10A の第 1 排気ポート OP1 を構成する第 1 排気管 18 が取付けられている。

【0074】

ロータ駆動機構 15 は、ロータ 14 を高速で回転させるためのものであり、ベース 11 の略中央部上に設置されている。ロータ駆動機構 15 は、モータと磁気軸受とを含んでおり、これらモータおよび磁気軸受が収容されたハウジング 15a と、出力軸として回転シャフト 15b とをさらに含んでいる。

【0075】

回転シャフト 15b は、その下端側の部分がハウジング 15a の内部に位置しており、その上端側の部分は、当該ハウジング 15a の外部に露出している。回転シャフト 15b の露出した部分には、ロータ 14 が固定されている。

【0076】

ハウジング 15a の内部に収容されたモータは、ロータ 14 が固定された回転シャフト 15b を回転駆動するものであり、ハウジング 15a の内部に収容された磁気軸受は、回転シャフト 15b を回転可能に支承するものである。これらモータおよび磁気軸受が駆動することにより、回転シャフト 15b が高速で回転し、これによってロータ 14 が複合分子ポンプ 10A の内部において高速で回転することになる。

【0077】

ロータ 14 は、金属製の部材にて構成されており、ロータ駆動機構 15 の回転シャフト 15b に固定された略円柱状の上部側ロータ部 14a と、略円筒状の下部側ロータ部 14b とを有している。上部側ロータ部 14a の外周部には、軸方向に沿って間隔をあけて複数の動翼 16 が設けられており、当該複数の動翼 16 は、それぞれ径方向外側に向かって突出して位置している。一方、下部側ロータ部 14b は、上述したロータ駆動機構 15 のハウジング 15a を取り囲むように上部側ロータ部 14a の下端から下方に向けて延設されている。

【0078】

ステータ 12 は、略円筒状の形状を有する金属製の部材にて構成されており、ベース 11 の周縁部上に設置されている。ステータ 12 は、ロータ 14 の下部側ロータ部 14b を取り囲むように、下部側ロータ部 14b の外周面に対向して位置している。ステータ 12 の所定位置には、複合分子ポンプ 10A の第 2 排気ポート OP2 を構成する第 2 排気管 19 が取付けられている。

【0079】

ステータ 12 の内周面には、雌ねじ形状のねじ溝 12a が設けられている。当該ねじ溝 12a は、下部側ロータ部 14b の外周面に所定の距離をもって位置している。

【0080】

これにより、ステータ 12 およびこれに対向する部分の下部側ロータ部 14b によってねじ溝真空ポンプ 10b が構成されることになる。このねじ溝真空ポンプ 10b は、複合分子ポンプ 10A の作動時においてロータ 14 が高速で回転することにより、排気機能を発揮する。

【0081】

ケーシング 13 は、略円筒状の形状を有する金属製の部材にて構成されており、ステータ 12 上に設置されている。ケーシング 13 は、ロータ 14 の上部側ロータ部 14a を取り囲むように位置している。ケーシング 13 の上部に設けられた開口部は、複合分子ポンプ 10A の吸気ポート IP を構成している。

【0082】

10

20

30

40

50

ケーシング 13 の内周面上には、複数のスペーサ兼支持部材 13 a が設けられており、当該複数のスペーサ兼支持部材 13 a によって複数の静翼 17 が支持されている。複数の静翼 17 は、軸方向に沿って間隔をあけて設けられており、それぞれ径方向内側に向かって突出して位置している。

【0083】

上述した複数の動翼 16 および複数の静翼 17 は、それぞれが異なる方向に向けて傾斜するタービン翼を有している。また、上述した複数の動翼 16 および複数の静翼 17 は、これらが軸方向に沿って互い違いに位置することとなるように配設されている。

【0084】

これにより、複数の動翼 16 および複数の静翼 17 によってターボ分子ポンプ 10 a が構成されることになる。このターボ分子ポンプ 10 a は、複合分子ポンプ 10 A の作動時においてロータ 14 が高速に回転することにより、排気機能を発揮する。

【0085】

上述した構成の複合分子ポンプ 10 A においては、複数の動翼 16 および複数の静翼 17 のうちの最上段に配置された翼の上面位置においてターボ分子ポンプ 10 a の第 1 吸気口 I L 1 が構成されることになり、複数の動翼 16 および複数の静翼 17 のうちの最下段に配置された翼の下面位置においてターボ分子ポンプ 10 a の第 1 排気口 O L 1 が構成されることになる。

【0086】

また、上述した構成の複合分子ポンプ 10 A においては、ステータ 12 とロータ 14 の下部側ロータ部 14 b との間に設けられた隙間の上端位置においてねじ溝真空ポンプ 10 b の第 2 吸気口 I L 2 が構成されることになり、ステータ 12 とロータ 14 の下部側ロータ部 14 b との間に設けられた隙間の下端位置においてねじ溝真空ポンプ 10 b の第 2 排気口 O L 2 が構成されることになる。

【0087】

さらに、上述した構成の複合分子ポンプ 10 A においては、ステータ 12 に設けられた通気路の上端位置において中間排気口 O L 5 が構成されることになる。

【0088】

ここで、ターボ分子ポンプ 10 a の第 1 吸気口 I L 1 は、ケーシング 13 の内部の空間を介して、ケーシング 13 の上部に設けられた複合分子ポンプ 10 A の吸気ポート I P に連通している。一方、ターボ分子ポンプ 10 a の第 1 排気口 O L 1 は、ケーシング 13 の内部の空間を介して、ねじ溝真空ポンプ 10 b の第 2 吸気口 I L 2 に連通しているとともに、ケーシング 13 の内部の空間を介して、中間排気口 O L 5 に連通し、さらにステータ 12 に設けられた通気路を介して、ステータ 12 に接続された第 2 排気管 19 によって構成された複合分子ポンプ 10 A の第 2 排気ポート O P 2 に連通している。

【0089】

また、ねじ溝真空ポンプ 10 b の第 2 吸気口 I L 2 は、ケーシング 13 の内部の空間を介して、ターボ分子ポンプ 10 a の第 1 排気口 O L 1 に連通しているとともに、ケーシング 13 の内部の空間を介して、中間排気口 O L 5 に連通し、さらにステータ 12 に設けられた通気路を介して、ステータ 12 に接続された第 2 排気管 19 によって構成された複合分子ポンプ 10 A の第 2 排気ポート O P 2 に連通している。一方、ねじ溝真空ポンプ 10 b の第 2 排気口 O L 2 は、ステータ 12 の内部の空間およびベース 11 に設けられた通気路を介して、ベース 11 に接続された第 1 排気管 18 によって構成された複合分子ポンプ 10 A の第 1 排気ポート O P 1 に連通している。

【0090】

これにより、上述したように、ターボ分子ポンプ 10 a が、複合分子ポンプ 10 A 内に形成される排気路の上流側の部分を構成することになり、ねじ溝真空ポンプ 10 b が、複合分子ポンプ 10 A 内に形成される排気路の下流側の部分を構成することになる。

【0091】

換言すれば、複合分子ポンプ 10 A においては、吸気ポート I P が、ターボ分子ポンプ

10

20

30

40

50

10 a およびねじ溝真空ポンプ 10 b を介して第 1 排気ポート O P 1 に接続されている一方で、当該吸気ポート I P は、ターボ分子ポンプ 10 a のみを介して第 2 排気ポート O P 2 にも接続されている。

【 0 0 9 2 】

なお、ベース 1 1 とステータ 1 2 との間、ステータ 1 2 とケーシング 1 3 との間、ベース 1 1 と第 1 排気管 1 8 との間、ステータ 1 2 と第 2 排気管 1 9 との間等には、それぞれ O リング等のシール部材が介在されている。これにより、吸気ポート I P と第 1 排気ポート O P 1 および第 2 排気ポート O P 2 との間に位置する部分の排気路の気密性が確保されることになり、当該排気路からの漏気の発生が防止できる。

【 0 0 9 3 】

図 4 および図 5 は、それぞれ本実施の形態における排気システムにおける上述した第 1 排気状態および第 2 排気状態を示した図である。次に、これら図 4 および図 5 を参照して、上述した第 1 排気状態および第 2 排気状態について詳説する。

【 0 0 9 4 】

図 4 に示すように、第 1 排気状態においては、三方弁 3 0 が切り替えられることにより、当該三方弁 3 0 の第 1 ポート P 1 および第 3 ポート P 3 が接続された状態となる。当該第 1 排気状態においては、複合分子ポンプ 10 A の第 1 排気ポート O P 1 と補助真空ポンプ 20 の第 3 吸気口 I L 3 とが三方弁 3 0 を介して接続された状態となる。

【 0 0 9 5 】

これにより、排気システム 1 A においては、ターボ分子ポンプ 10 a、ねじ溝真空ポンプ 10 b および補助真空ポンプ 20 が上流側からこの順で接続された状態となり、これによって図中に示す第 1 排気経路 E P 1 が形成されることになる。より詳細には、第 1 排気状態においては、吸気ポート I P として構成された第 1 吸気口 I L 1 から吸気されたガスが、第 1 排気口 O L 1、第 2 吸気口 I L 2、第 1 排気ポート O P 1 として構成された第 2 排気口 O L 2 および第 3 吸気口 I L 3 をこの順で経由して、第 3 排気口 O L 3 から排気されることになる。

【 0 0 9 6 】

図 5 に示すように、第 2 排気状態においては、三方弁 3 0 が切り替えられることにより、当該三方弁 3 0 の第 2 ポート P 2 および第 3 ポート P 3 が接続された状態となる。当該第 2 排気状態においては、複合分子ポンプ 10 A の第 2 排気ポート O P 2 と補助真空ポンプ 20 の第 3 吸気口 I L 3 とが三方弁 3 0 を介して接続された状態となる。

【 0 0 9 7 】

これにより、排気システム 1 A においては、ターボ分子ポンプ 10 a および補助真空ポンプ 20 が上流側からこの順で接続された状態となり、これによって図中に示す第 2 排気経路 E P 2 が形成されることになる。より詳細には、第 2 排気状態においては、吸気ポート I P として構成された第 1 吸気口 I L 1 から吸気されたガスが、第 1 排気口 O L 1、第 2 排気ポート O P 2 として構成された中間排気口 O L 5 および第 3 吸気口 I L 3 をこの順で経由して、第 3 排気口 O L 3 から排気されることになる。すなわち、吸気ポート I P として構成された第 1 吸気口 I L 1 から吸気されたガスは、上記第 1 排気状態とは異なり、第 2 吸気口 I L 2 および第 1 排気ポート O P 1 として構成された第 2 排気口 O L 2 を経ることはない。

【 0 0 9 8 】

ここで、一般に、ターボ分子ポンプは、吸気口側での排気速度が排気口側での補助排気速度に相当程度に依存し、排気口側での補助排気速度が大きい場合に、吸気口側での排気速度も大きくなる傾向にあり、排気口側での補助排気速度が小さい場合に、吸気口側での排気速度も小さくなる傾向にある。また、その依存の程度は、排気するガスの種類によっても大きく異なり、軽ガスに対する依存の程度は、非軽ガスに対する依存の程度よりも大きい。なお、ここで言う補助排気速度は、ターボ分子ポンプの排気口とその下流側に配置された真空ポンプとの間の排気路のコンダクタンスが十分に大きい場合には、当該ターボ分子ポンプの下流側に配置された真空ポンプの吸気口側での排気速度と基本的に等価とな

10

20

30

40

50

る。すなわち、上記補助排気速度は、上述した第1排気状態においては、ねじ溝真空ポンプ10bの第2吸気口IL2側での排気速度と等価であり、上述した第2排気状態においては、補助真空ポンプ20の第3吸気口IL3側での排気速度と等価である。

【0099】

また、通常、油回転真空ポンプからなる補助真空ポンプ20の第3吸気口IL3側での排気速度は、ねじ溝真空ポンプ10bの第2吸気口IL2側での排気速度に比べて、桁違いに小さい。

【0100】

そのため、三方弁30が切り替えられることにより、第2排気状態におけるターボ分子ポンプ10aの第1排気口OL1での補助排気速度は、第1排気状態におけるターボ分子ポンプ10aの第1排気口OL1での補助排気速度よりも桁違いに小さくなる。その結果、第2排気状態におけるターボ分子ポンプ10aの第1吸気口IL1での排気速度は、非軽ガスに対しては第1排気状態における排気速度と遜色がないものとなるのに対し、軽ガスに対しては第1排気状態における排気速度と比較して著しく小さくなる。

【0101】

したがって、第1排気状態においては、軽ガスおよび非軽ガスが同時に複合分子ポンプ10Aの吸気ポートIPから吸気されて上記第1排気経路EP1を經由して補助真空ポンプ20の第3排気口OL3から排気されることになり、第2排気状態においては、主として非軽ガスが複合分子ポンプ10Aの吸気ポートIPから吸気されて上記第2排気経路EP2を經由して補助真空ポンプ20の第3排気口OL3から排気されることになる。すなわち、第2排気状態においては、軽ガスとしてのヘリウムガスの排気量が第1排気状態に比べて著しく小さくなる反面、非軽ガスの排気量は第1排気状態とほぼ同等に維持される。

【0102】

これにより、上述した図1に示す電子ビーム積層造形装置100において、積層造形の前段階において、ヘリウムガス供給源200による第2チャンバ部112内へのヘリウムガスの導入を停止しつつ、排気システム1Aを用いて上記第1排気状態にて第2チャンバ部112内の排気を行なうことにより、短時間のうちに高真空状態を作り出すことができ、その後、積層造形時において、ヘリウムガス供給源200による第2チャンバ部112内へのヘリウムガスの導入を行ないつつ、排気システム1Aを用いて上記第2排気状態にて第2チャンバ部112内の排気を行なうことにより、ヘリウムガスの分圧が相対的に高く保たれつつも非軽ガスの分圧が相対的に低く保たれた真空状態が維持できることになる。

【0103】

ここで、第2排気状態においては、排気システム1Aによって排気される軽ガスとしてのヘリウムガスの排気量が僅かであるため、ヘリウムガス供給源200によって第2チャンバ部112内へ導入すべきヘリウムガスの量も大幅に少なくて済む。そのため、ヘリウムガスの消費量を大幅に抑制しつつも、第2チャンバ部112内のヘリウムガスの分圧を相対的に高く保つことができる。

【0104】

したがって、上述した本実施の形態における排気システム1Aを適用することにより、軽ガスおよび非軽ガスを同時に排気することができる一方で、非軽ガスを選択的に主として排気することもできる排気システムの実現が可能になり、また、当該排気システム1Aを備えた電子ビーム積層造形装置100とすることにより、造形速度や造形精度に優れたつつも補助ガスとしてのヘリウムガスの消費量を抑制することができる電子ビーム積層造形装置の実現が可能になる。

【0105】

ここで、上述したターボ分子ポンプ10aを構成する動翼16および静翼17の合計段数は、10段以上12段以下であることが好ましい。本実施の形態においては、これを6段の動翼16と5段の静翼17との合計11段で構成している。このように構成すること

10

20

30

40

50

により、第1吸気口I L 1側でのヘリウムガスに対する排気速度が、排気口側での補助排気速度に依存する程度を増大させることができ（すなわち、第2排気状態におけるヘリウムガスの排気量をさらに抑制することができる）、非軽ガスの選択排気を促進できることになる。

【0106】

なお、通常のターボ分子ポンプの動翼および静翼の合計段数は、15段以上とされるため、上述のとおりこれらの合計段数を10段以上12段以下とした場合には、非軽ガスの選択排気が促進できるばかりでなく、ターボ分子ポンプ10aを大幅に小型化することもできる。

【0107】

また、上述したねじ溝真空ポンプ10bを構成するステータ12に設けられるねじ溝12aの深さの勾配は、0より大きく0.04以下とされることが好ましい。このように構成することにより、上記第1排気状態における第1排気口O L 1でのヘリウムガスに対する補助排気速度をより大きくすることができるため、第1排気状態におけるヘリウムガスの排気量を増大させることができる。

【0108】

以下においては、本実施の形態における排気システム1Aを適用することにより、軽ガスおよび非軽ガスを同時に排気することができる一方で、非軽ガスを選択的に主として排気することも可能になるメカニズムについて、より詳細に説明する。

【0109】

一般に、高真空状態において、チャンバの内壁面等から脱離するガス分子は、水蒸気（ $H_2O$ ）が最も多い。そのため、ここでは、放出ガスが水蒸気のみであると仮定する。

【0110】

補助ガスをヘリウムガスとし、放出ガス（不純物）を水蒸気と仮定した場合には、チャンバ内の不純物比  $\alpha$  は、チャンバ内のヘリウムガスの分圧を  $P_{He}$  とし、チャンバ内の水蒸気分圧を  $P_{H_2O}$  とすると、下記式（1）で定義される。

【0111】

【数1】

$$\alpha = \frac{P_{H_2O}}{P_{He}} \quad \dots(1)$$

【0112】

ここで、チャンバ内へのヘリウムガスの供給流量を  $Q_{He}$  とし、チャンバの内壁面等からの水蒸気の放出量を  $Q_{H_2O}$  とし、ターボ分子ポンプの吸気口でのヘリウムガスの排気速度を  $S_{He}$  とし、ターボ分子ポンプの吸気口での水蒸気の排気速度を  $S_{H_2O}$  とすると、上記式（1）は、下記式（2）のとおり書き換えることができる。

【0113】

【数2】

$$\alpha = \frac{S_{He}}{S_{H_2O}} \times \frac{Q_{H_2O}}{Q_{He}} \quad \dots(2)$$

【0114】

したがって、上記式（2）より、不純物比  $\alpha$  を小さくするためには、ターボ分子ポンプの吸気口での水蒸気の排気速度  $S_{H_2O}$  に対して、ターボ分子ポンプの吸気口でのヘリウムガスの排気速度  $S_{He}$  を小さくすればよいことになる。

【0115】

一般に、自由分子領域においては、ターボ分子ポンプのある気体に対する吸気口での排気速度  $S$  は、その気体に対する最大排気速度  $S_{max}$  と、その気体に対する最大圧縮比  $K_{max}$  と、ターボ分子ポンプの排気口でのその気体に対する排気速度（補助排気速度）  $S_{fore}$  とを用いて、下記式（3）で表わされる。

【0116】

10

20

30

40

【数3】

$$S = \frac{S_{max} \times K_{max}}{K_{max} - 1 + \frac{S_{max}}{S_{fore}}} \quad \dots(3)$$

【0117】

ここで、上記気体が非軽ガスである場合には、 $K_{max} \gg 1$ の条件が成立するため、上記式(3)は、下記式(4-1)に示す1を用いて下記式(4-2)に書き換えることができる。

【0118】

【数4】

$$\epsilon_1 = \frac{S_{max}}{S_{fore} \times K_{max}} \quad \dots(4-1)$$

$$S = \frac{S_{max} \times K_{max}}{K_{max} - 1 + \frac{S_{max}}{S_{fore}}} = \frac{S_{max}}{1 - \frac{1}{K_{max}} + \frac{S_{max}}{S_{fore} \times K_{max}}} = \frac{S_{max}}{1 - \frac{1}{K_{max}} + \epsilon_1} \rightarrow \frac{S_{max}}{1 + \epsilon_1} \quad \dots(4-2)$$

【0119】

一方、上記気体が軽ガスであり、かつ、 $S_{fore}$ が十分に大きな場合には、 $K_{max} > 1$ かつ $S_{max} > S_{fore}$ の条件が成立するため、上記式(3)は、下記式(5-1)に示す2を用いて下記式(5-2)に書き換えることができる。

【0120】

【数5】

$$\epsilon_2 = \frac{1}{K_{max}} \times \left( \frac{S_{max}}{S_{fore}} - 1 \right) \quad \dots(5-1)$$

$$S = \frac{S_{max} \times K_{max}}{K_{max} - 1 + \frac{S_{max}}{S_{fore}}} = \frac{S_{max}}{1 + \frac{1}{K_{max}} \times \left( \frac{S_{max}}{S_{fore}} - 1 \right)} \rightarrow \frac{S_{max}}{1 + \epsilon_2} \quad \dots(5-2)$$

【0121】

他方、上記気体が軽ガスであり、かつ、 $S_{fore}$ が十分に小さい場合には、 $K_{max} > 1$ かつ $S_{max} \gg S_{fore}$ の条件が成立するため、上記式(3)は、下記式(6-1)に示す3を用いて下記式(6-2)に書き換えることができる。

【0122】

【数6】

$$\epsilon_3 = \frac{S_{fore}}{S_{max}} \times (K_{max} - 1) \quad \dots(6-1)$$

$$S = \frac{S_{max} \times K_{max}}{K_{max} - 1 + \frac{S_{max}}{S_{fore}}} = \frac{S_{fore} \times K_{max}}{\frac{S_{fore}}{S_{max}} \times (K_{max} - 1) + 1} \rightarrow \frac{S_{fore} \times K_{max}}{1 + \epsilon_3} \quad \dots(6-2)$$

【0123】

なお、 $S_{max}$ および $K_{max}$ は、ガス種ごとにターボ分子ポンプの設計で決まる値であり、 $S_{fore}$ は、上述したとおりターボ分子ポンプの下流側に配置される真空ポンプの能力およびターボ分子ポンプと当該真空ポンプとを接続する排気路のコンダクタンスによって決まる。また、原理的に、軽ガス(ここではヘリウムガス)の $K_{max}$ は、非軽ガス(ここでは水蒸気)の $K_{max}$ よりも桁違いに小さい。

【0124】

以上を勘案すれば、以下の条件を満たすように排気システムを構築することにより、ヘリウムガスおよび水蒸気を同時に排気することができる一方で、水蒸気のみを選択的に主として排気することもできる排気システムが実現できることになる。

【0125】

第1の条件は、ヘリウムガスおよび水蒸気を同時により多く排気するために、上述した $S_{He}$ 、 $S_{H_2O}$ をいずれも大きくすることである。 $S_{H_2O}$ を大きくするためには、上記

10

20

30

40

50

式(4-2)に従って $S$ を $S_{max}$ に近づければよく、結果として $1$ を十分に小さくすればよい。 $SH_e$ を大きくするためには、上記式(5-2)に従って $S$ を $S_{max}$ に近づければよく、結果として $2$ を十分に小さくすればよい。

【0126】

第2の条件は、水蒸気のみを選択的に主として排気するために、上述した $SH_e$ を小さくしつつ $SH_2O$ を大きくすることである。 $SH_2O$ を大きくするためには、上述したように上記式(4-2)に従って $S$ を $S_{max}$ に近づければよく、結果として $1$ を十分に小さくすればよい。 $SH_e$ を小さくするためには、上記式(6-2)に従って $S$ を $S_{fore} \times K_{max}$ に近づければよく、結果として $3$ を十分に小さくすればよい。

【0127】

このうち、 $1$ を小さくすることは、ターボ分子ポンプの設計如何によって実現できるものであり、比較的容易にその設計が可能である。一方、 $2$ および $3$ は、ターボ分子ポンプの下流側に設置される真空ポンプの能力およびターボ分子ポンプと当該真空ポンプとを接続する排気路のコンダクタンスに依存し、また単一の真空ポンプにてこれら $2$ および $3$ をいずれも小さくすることはできないため、ターボ分子ポンプの下流側に分岐路を形成し、そのそれぞれに異なる能力の真空ポンプを配置することで実現できる。なお、

$2$ を小さくするためには、ヘリウムガスに対する排気速度が大きい真空ポンプを用いればよく、 $3$ を小さくするためには、ヘリウムガスに対する排気速度が小さい真空ポンプを用いればよい。

【0128】

以上により、上述した本実施の形態における排気システム1Aのように、第1排気状態として、ターボ分子ポンプ10aの下流側にヘリウムガスに対する排気速度が大きいねじ溝真空ポンプ10bが接続され、第2排気状態において、ターボ分子ポンプ10aの下流側にヘリウムガスに対する排気速度が小さい油回転真空ポンプからなる補助真空ポンプ20が接続されるように構成するとともに、これら第1排気状態および第2排気状態を三方弁30によって選択的に切り替え可能に構成することにより、軽ガスおよび非軽ガスを同時に排気することができる一方で、非軽ガスを選択的に主として排気することもできる排気システムの実現が可能になる。

【0129】

図6は、実施例A、Bに係るターボ分子ポンプの排気特性を示したグラフである。以下、この図6を参照して、本実施の形態における排気システム1Aに具備されるべきターボ分子ポンプ10aの排気特性について説明する。

【0130】

上述したように、ターボ分子ポンプにおいては、吸気口側での排気速度が排気口側での補助排気速度に相当程度に依存する。図6に示すグラフは、この依存の程度を示したグラフであり、実施例A、Bに係るターボ分子ポンプの各々について、ヘリウムガスおよび窒素ガスに対する吸気口側での排気速度と、排気口側での補助排気速度との関係を示したものである。なお、当該グラフでは、縦軸をヘリウムガスおよび窒素ガスに対する吸気口側での排気速度 $S [L/s]$ とし、横軸を排気口側での補助排気速度 $S_{fore} [L/s]$ としている。

【0131】

実施例Aは、吸気口での排気速度が $3000 [L/s]$ 程度の標準的なターボ分子ポンプであり、静翼段および動翼段の合計段数が17段のものである。一方、実施例Bは、当該標準的なターボ分子ポンプにおいて、静翼段および動翼段の合計段数を11段に減らしたものである。

【0132】

図6を参照して、実施例A、Bに係るターボ分子ポンプのいずれにおいても、非軽ガスである窒素ガスに対しては、排気口側での補助排気速度の変化に対する吸気口側での補助排気速度に大きな変化はなく、おおよそその吸気口側での排気速度が $3100 [L/s]$ に保たれていることが理解できる。

10

20

30

40

50

## 【 0 1 3 3 】

一方で、実施例 A , B に係るターボ分子ポンプのいずれにおいても、軽ガスであるヘリウムガスに対しては、排気口側での補助排気速度の変化に対する吸気口側での補助排気速度に大きな変化があり、排気口側での補助排気速度が減少するにつれて吸気口側での排気速度も減少する傾向があることが理解できる。

## 【 0 1 3 4 】

このように、実施例 A , B に係るターボ分子ポンプのいずれを用いた場合にも、排気口側での補助排気速度を変化させることにより、非軽ガスである窒素ガスに対する吸気口側での排気速度を同等程度に維持しつつ、軽ガスであるヘリウムガスに対する吸気口側での排気速度を大きくしたり小さくしたりすることができる。したがって、このような排気特性を有する限りにおいては、どのようなターボ分子ポンプであっても、本実施の形態における排気システム 1 A に具備させることができる。

## 【 0 1 3 5 】

ここで、実施例 A に係るターボ分子ポンプにおいては、排気口側での補助排気速度が約 60 ~ 400 [ L / s ] の場合に、吸気口側でのヘリウムガスに対する排気速度が約 2800 ~ 3000 程度に維持されているのに対し、排気口側での補助排気速度が約 60 [ L / s ] を下回った場合に、急激に吸気口側でのヘリウムガスに対する排気速度が減少し、排気口側での補助排気速度が約 10 [ L / s ] の場合に、吸気口側でのヘリウムガスに対する排気速度が約 1800 [ L / s ] 程度にまで減少している。

## 【 0 1 3 6 】

一方、実施例 B に係るターボ分子ポンプにおいては、排気口側での補助排気速度が 400 [ L / s ] よりも小さい範囲において、排気口側での補助排気速度が減少するにつれてより滑らかに吸気口側でのヘリウムガスに対する排気速度が減少し、排気口側での補助排気速度が約 10 [ L / s ] の場合に、吸気口側でのヘリウムガスに対する排気速度が約 300 [ L / s ] 程度にまで減少している。

## 【 0 1 3 7 】

そのため、実施例 A に係るターボ分子ポンプにおいては、排気口側での補助排気速度の変化に応じて、吸気口側でのヘリウムガスに対する排気速度が敏感に変化してしまうことになり、安定的な制御が難しくなるおそれがあり、また、吸気口側でのヘリウムガスに対する排気速度自体も、極端には小さくできないおそれがある。

## 【 0 1 3 8 】

これに対し、実施例 B に係るターボ分子ポンプにおいては、排気口側での補助排気速度の変化に応じて、吸気口側でのヘリウムガスに対する排気速度が徐々に変化することになり、より安定的な制御が行なえるばかりでなく、吸気口側でのヘリウムガスに対する排気速度自体も、これを十分に小さくできる。

## 【 0 1 3 9 】

したがって、上述したように、本実施の形態における排気システム 1 A に具備させるターボ分子ポンプ 10 a としては、動翼 16 および静翼 17 の合計段数が 10 段以上 12 段以下であるものがより好適であると言える。

## 【 0 1 4 0 】

図 7 は、実施例 a , b , c に係るねじ溝真空ポンプのねじ溝の形状を示した模式断面図であり、図 8 は、実施例 a , b , c , d に係るねじ溝真空ポンプのねじ溝の深さの勾配を示した表である。図 9 は、実施例 a , b , c に係るねじ溝真空ポンプの排気特性を示したグラフであり、図 10 は、実施例 a , b , c に係るねじ溝真空ポンプと実施例 B に係るターボ分子ポンプとを組み合わせた場合の排気特性を纏めた表である。また、図 11 は、実施例 c , d に係るねじ溝真空ポンプの排気特性を示したグラフであり、図 12 は、実施例 c , d に係るねじ溝真空ポンプと実施例 B に係るターボ分子ポンプとを組み合わせた場合の排気特性を纏めた表である。以下、これら図 7 ないし図 12 を参照して、本実施の形態における排気システム 1 A に具備されるべきねじ溝真空ポンプ 10 b の排気特性について説明する。

10

20

30

40

50

## 【 0 1 4 1 】

上述したように、本実施の形態における排気システム 1 A においては、第 1 排気状態において、非軽ガスのみならず軽ガスであるヘリウムガスについてもその排気量を大きく確保することが求められる。そのため、ねじ溝真空ポンプ 1 0 b においては、ヘリウムガスに対する排気速度を可能な限り大きくすることが必要になる。

## 【 0 1 4 2 】

ねじ溝真空ポンプの排気特性は、ねじ溝の深さの勾配によって大きくその影響を受ける。ここでは、ねじ溝の深さの勾配や軸長が異なる実施例 a , b , c , d の合計で 4 種類のモデルを想定して、それぞれにおけるヘリウムガスに対する排気速度を検討する。

## 【 0 1 4 3 】

図 7 および図 8 に示すように、実施例 a , b , c に係るねじ溝真空ポンプにおいては、ねじ溝 1 2 a が形成される部分のステータ 1 2 の軸長をいずれも 1 2 8 . 0 [ mm ] とし、ねじ溝 1 2 a の上流側端部における深さをいずれも 1 1 . 0 [ mm ] とし、ねじ溝 1 2 a の下流側端部における深さをそれぞれ 1 . 5 [ mm ]、3 . 0 [ mm ]、6 . 0 [ mm ] とした。実施例 a , b , c に係るねじ溝真空ポンプのねじ溝 1 2 a の深さの勾配は、それぞれ 0 . 0 7 4 [ - ]、0 . 0 6 3 [ - ]、0 . 0 3 9 [ - ] である。

## 【 0 1 4 4 】

一方、図 8 に示すように、実施例 d に係るねじ溝真空ポンプにおいては、ねじ溝 1 2 a が形成される部分のステータ 1 2 の軸長を 1 6 8 . 0 [ mm ] とし、ねじ溝 1 2 a の上流側端部における深さを 1 2 . 5 6 [ mm ] とし、ねじ溝 1 2 a の下流側端部における深さをそれぞれ 6 . 0 [ mm ] とした。実施例 d に係るねじ溝真空ポンプのねじ溝 1 2 a の深さの勾配は、0 . 0 3 9 [ - ] である。

## 【 0 1 4 5 】

なお、実施例 d に係るねじ溝真空ポンプは、実施例 c に係るねじ溝真空ポンプにおいて、ねじ溝 1 2 a の深さの勾配を維持しつつ、ねじ溝 1 2 a の上流側端部を 4 0 . 0 [ mm ] だけ上流側に延長したものである。当該構成は、標準的な複合分子ポンプにおいて、ターボ分子ポンプの動翼および静翼の合計段数を減少させた場合に得られるスペースに、ねじ溝真空ポンプを延設させることを想定したものである。

## 【 0 1 4 6 】

図 9 に示すグラフは、ねじ溝の深さの勾配を変化させた場合に、軽ガスとしてのヘリウムガスおよび非軽ガスとしての窒素ガスに対するねじ溝真空ポンプの排気特性がどのように変化するかを示したものである。なお、当該グラフは、ヘリウムガスまたは窒素ガスがねじ溝内を一定量 ( 1 0 [ s c c m ] ) ( 2 0 [ ] 換算で 1 8 . 1 [ Pa · L / s ] ) 流れている場合 ( 第 2 チャンバ部 1 1 2 において分圧が 6 . 0 × 1 0 <sup>-3</sup> [ Pa ] 程度の場合 ) の、ねじ溝の上流側端部における圧力と、ねじ溝の下流側端部における圧力 ( いわゆる背圧 ) との関係を示したものである。当該グラフでは、縦軸をねじ溝の上流側端部における圧力 P s [ Pa ] とし、横軸をねじ溝の下流側端部における圧力 P b [ Pa ] としている。

## 【 0 1 4 7 】

実施例 a に係るねじ溝真空ポンプにおいては、他のねじ溝真空ポンプに比べてねじ溝の深さの勾配が大きく、耐背圧性能が向上する反面、P b が低い場合のヘリウムガスに対する排気速度が小さい ( すなわち P s が高い ) ことが分かる。

## 【 0 1 4 8 】

一方、実施例 b に係るねじ溝真空ポンプにおいては、実施例 a に係るねじ溝真空ポンプに比べてねじ溝の深さの勾配が小さく、耐背圧性能が多少劣るものの、P b が低い場合のヘリウムガスに対する排気速度が大きい ( すなわち P s が低い ) ことが分かる。

## 【 0 1 4 9 】

また、実施例 c に係るねじ溝真空ポンプにおいては、実施例 b に係るねじ溝真空ポンプに比べてねじ溝の深さの勾配がさらに小さく、耐背圧性能がより劣ったものとなるものの、P b が低い場合のヘリウムガスに対する排気速度が非常に大きい ( すなわち P s が非常

10

20

30

40

50

に低い) ことが分かる。

【 0 1 5 0 】

ここで、図 1 0 は、ねじ溝真空ポンプの上流側に設置されるターボ分子ポンプを上述した実施例 B のものとし、ねじ溝真空ポンプの下流側に設置される補助真空ポンプの排気速度を  $100 [L/s]$  とし、ヘリウムガスがねじ溝内を  $10 [sccm]$  流れている場合における実施例 a , b , c の排気特性を示したものである。ここで、図 9 に示すグラフからねじ溝の上流側端部におけるヘリウムガスの圧力  $P_s [Pa]$  が読み取れ、これに基づいてターボ分子ポンプの第 1 排気口での補助排気速度  $S_{fore} [L/S]$  が算出され、さらにこれに基づいて、図 6 に示すグラフからターボ分子ポンプの第 1 吸気口でのヘリウムガスに対する排気速度  $S_{He} [L/s]$  が読み取れる。

10

【 0 1 5 1 】

図 1 0 に示すように、実施例 a , b , c では、それぞれターボ分子ポンプの第 1 吸気口でのヘリウムガスに対する排気速度  $S_{He}$  が、 $2060 [L/s]$ 、 $2150 [L/s]$ 、 $2230 [L/s]$  となることが分かる。このようにねじ溝真空ポンプのねじ溝の深さの勾配をより小さくすることにより、第 1 排気状態において、軽ガスであるヘリウムガスの排気量をより大きく確保することが可能になる。

【 0 1 5 2 】

図 1 1 に示すグラフは、ねじ溝の軸長を変化させた場合に、軽ガスとしてのヘリウムガスおよび非軽ガスとしての窒素ガスに対するねじ溝真空ポンプの排気特性がどのように変化するかを示したものである。なお、当該グラフは、ヘリウムガスまたは窒素ガスがねじ溝内を一定量 ( $10 [sccm]$ ) 流れている場合 (排気過程において分圧が  $6.0 \times 10^{-3} [Pa]$  程度の場合) の、ねじ溝の上流側端部における圧力と、ねじ溝の下流側端部における圧力 (いわゆる背圧) との関係を示したものである。当該グラフでは、縦軸をねじ溝の上流側端部における圧力  $P_s [Pa]$  とし、横軸をねじ溝の下流側端部における圧力  $P_b [Pa]$  としている。

20

【 0 1 5 3 】

実施例 d に係るねじ溝真空ポンプにおいては、実施例 c に係るねじ溝真空ポンプに比べてねじ溝の軸長が長く、 $P_b$  が低い場合のヘリウムガスに対する排気速度がより大きい (すなわち  $P_s$  が低い) ことが分かる。

【 0 1 5 4 】

ここで、図 1 2 は、ねじ溝真空ポンプの上流側に設置されるターボ分子ポンプを上述した実施例 B のものとし、ねじ溝真空ポンプの下流側に設置される補助真空ポンプの排気速度を  $100 [L/s]$  とし、ヘリウムガスがねじ溝内を  $10 [sccm]$  流れている場合における実施例 c , d の排気特性を示したものである。ここで、図 1 1 に示すグラフからねじ溝の上流側端部におけるヘリウムガスの圧力  $P_s [Pa]$  が読み取れ、これに基づいてターボ分子ポンプの第 1 排気口での補助排気速度  $S_{fore} [L/S]$  が算出され、さらにこれに基づいて、図 6 に示すグラフからターボ分子ポンプの第 1 吸気口でのヘリウムガスに対する排気速度  $S_{He} [L/s]$  が読み取れる。

30

【 0 1 5 5 】

図 1 2 に示すように、実施例 c , d では、それぞれターボ分子ポンプの第 1 吸気口でのヘリウムガスに対する排気速度  $S_{He}$  が、 $2230 [L/s]$ 、 $2300 [L/s]$  となることが分かる。このようにねじ溝真空ポンプのねじ溝の軸長をより長くすることにより、第 1 排気状態において、軽ガスであるヘリウムガスの排気量をより大きく確保することができることになる。

40

【 0 1 5 6 】

したがって、上述したように、本実施の形態における排気システム 1 A に具備させるねじ溝真空ポンプ 1 0 b としては、ねじ溝の深さの勾配が 0 より大きく  $0.04$  以下とされたものがより好適であると言え、また、ねじ溝の軸長がより長いものがより好適であると言える。

【 0 1 5 7 】

50

一方で、実施例 a , b , c , d に係るねじ溝真空ポンプのいずれを用いた場合にも、相当程度にヘリウムガスに対する排気速度を大きくすることはできるため、これをターボ分子ポンプの下流側に接続することにより、低真空状態を作り出す補助真空ポンプをターボ分子ポンプの下流側に接続する場合よりも、ターボ分子ポンプの排気口側での補助排気速度を高くすることができる。そのため、このような排気特性を有する限りにおいては、どのようなねじ溝真空ポンプであっても、本実施の形態における排気システム 1 A に具備させることができる。

【 0 1 5 8 】

( 第 1 変形例 )

図 1 3 は、第 1 変形例に係る排気システムの構成を概略的に示した図である。以下、この図 1 3 を参照して、本実施の形態に基づいた第 1 変形例に係る排気システム 1 B について説明する。

【 0 1 5 9 】

図 1 3 に示す排気システム 1 B は、上述した排気システム 1 A に代えて、本実施の形態における電子ビーム積層造形装置 1 0 0 に具備されるものである。排気システム 1 B は、上述した排気システム 1 A と比較した場合に、オリフィス 4 0 をさらに有している点においてのみ、その構成が相違している。

【 0 1 6 0 】

図 1 3 に示すように、オリフィス 4 0 は、複合分子ポンプ 1 0 A の第 2 排気ポート O P 2 と、三方弁 3 0 の第 2 ポート P 2 とを接続する部分の排気路に設けられている。当該オリフィス 4 0 は、第 2 排気状態において、ターボ分子ポンプ 1 0 a の第 1 排気口 O L 1 でのヘリウムガスに対する補助排気速度を適正化するためのものである。

【 0 1 6 1 】

当該オリフィス 4 0 が設けられることにより、第 2 排気状態においては、吸気ポート I P として構成された第 1 吸気口 I L 1 から吸気されたガスが、第 1 排気口 O L 1、第 2 排気ポート O P 2 として構成された中間排気口 O L 5、オリフィス 4 0 および第 3 吸気口 I L 3 をこの順で経由して、第 3 排気口 O L 3 から排気されることになる。

【 0 1 6 2 】

以下、オリフィス 4 0 を設けることにより、第 2 排気状態において、ターボ分子ポンプ 1 0 a の第 1 排気口 O L 1 でのヘリウムガスに対する補助排気速度が適正化する理由について説明する。

【 0 1 6 3 】

たとえば、ターボ分子ポンプ 1 0 a として上述した実施例 B の如くのターボ分子ポンプを用い、補助真空ポンプ 2 0 としてその排気速度が 1 0 0 [ L / s ] のものを用いた場合を想定する。その場合、仮にオリフィス 4 0 を設けなければ、図 6 を参照して、ターボ分子ポンプの吸気口側でのヘリウムガスに対する排気速度は、約 1 7 5 0 [ L / s ] となり、第 2 排気状態におけるヘリウムガスの排気量が比較的大きくなってしまふ。

【 0 1 6 4 】

この場合において、たとえばターボ分子ポンプの吸気口側でのヘリウムガスに対する排気速度を 6 8 7 [ L / s ] に設定するためには、オリフィス 4 0 として、ヘリウムガスに対するコンダクタンス C H e が 2 9 . 4 [ L / s ] のものを用いればよい。これにより、ターボ分子ポンプの排気口側でのヘリウムガスに対する補助排気速度が 2 2 . 7 [ L / s ] にまで下がるため、ターボ分子ポンプの吸気口側でのヘリウムガスに対する排気速度を 6 8 7 [ L / s ] に設定することが可能になる。

【 0 1 6 5 】

したがって、上述のとおりオリフィス 4 0 を設けることにより、第 2 排気状態において、ターボ分子ポンプ 1 0 a の第 1 排気口 O L 1 でのヘリウムガスに対する補助排気速度を適正化することができる。

【 0 1 6 6 】

なお、この場合、このオリフィス 4 0 の窒素ガスに対するコンダクタンス C N<sub>2</sub> は、 1

10

20

30

40

50

1.1 [L/s]であるため、ターボ分子ポンプの排気口側での窒素ガスに対する補助排気速度が10.0 [L/s]となり、ターボ分子ポンプの吸気口側での窒素ガスに対する排気速度は、3058 [L/s]となる。したがって、第2排気状態において、ヘリウムガスの排気を抑えて窒素ガスを選択的に主として排気することが可能になる。

【0167】

なお、オリフィス40を設けることに代えて、複合分子ポンプ10Aの第2排気ポートOP2と三方弁30の第2ポートP2とを接続する部分の排気路を、当該オリフィス40と同等のコンダクタンスを有する細い配管にて構成することとしてもよい。

【0168】

(第2変形例)

図14は、第2変形例に係る排気システムの構成を概略的に示した図である。以下、この図14を参照して、本実施の形態に基づいた第2変形例に係る排気システム1Cについて説明する。

【0169】

図14に示す排気システム1Cは、上述した排気システム1Aに代えて、本実施の形態における電子ビーム積層造形装置100に具備されるものである。排気システム1Cは、上述した排気システム1Aと比較した場合に、ブースタ真空ポンプ50をさらに有している点においてのみ、その構成が相違している。

【0170】

図14に示すように、ブースタ真空ポンプ50は、複合分子ポンプ10Aの第1排気ポートOP1と、三方弁30の第1ポートP1とを接続する部分の排気路に設けられている。より詳細には、ブースタ真空ポンプ50は、第4吸気口IL4および第4排気口OL4を有しており、第4吸気口IL4が、複合分子ポンプ10Aの第1排気ポートOP1として構成されたねじ溝真空ポンプ10bの第2排気口OL2に接続されており、第4排気口OL4が、三方弁の第1ポートP1に接続されている。

【0171】

当該ブースタ真空ポンプ50は、第1排気状態において、ターボ分子ポンプ10aの第1排気口OL1での補助排気速度を適正化するためのものである。なお、ブースタ真空ポンプとしては、ルーツ型真空ポンプ等が適切である。

【0172】

当該ブースタ真空ポンプ50が設けられることにより、第1排気状態においては、吸気ポートIPとして構成された第1吸気口IL1から吸気されたガスが、第1排気口OL1、第2吸気口IL2、第1排気ポートOP1として構成された第2排気口OL2、第4吸気口IL4、第4排気口OL4および第3吸気口IL3をこの順で経由して、第3排気口OL3から排気されることになる。

【0173】

以下、ブースタ真空ポンプ50を設けることにより、第1排気状態において、ターボ分子ポンプ10aの第1排気口OL1での補助排気速度が適正化する理由について説明する。

【0174】

たとえば、ターボ分子ポンプ10aとして上述した実施例Bの如くのターボ分子ポンプを用い、ねじ溝真空ポンプ10bとして上述した実施例cの如くのねじ溝真空ポンプを用い、補助真空ポンプとしてその排気速度が22.7 [L/s]のものをを用いた場合を想定する。その場合、仮にブースタ真空ポンプ50を設けなければ、第1排気状態におけるねじ溝真空ポンプの排気口側でのヘリウムガスに対する補助排気速度は、22.7 [L/s]となり、ヘリウムガスの流量がたとえば10 [sccm] (20 [ ]換算で18.1 [Pa·L/s])のときのねじ溝真空ポンプの排気口側の圧力は、0.80 [Pa]となるため、ねじ溝真空ポンプの吸気口側での圧力は、図11から0.12 [Pa]となることが分かり、ターボ分子ポンプの排気口でのヘリウムに対する補助排気速度は、151 [L/s]となる。したがって、図6に基づけば、この時のターボ分子ポンプの吸気口で

10

20

30

40

50

の排気速度は、2000 [ L / s ] となり、第1排気状態における排気量が図12の場合に比べて小さくなってしまふ。

【0175】

そのため、この場合において、たとえばねじ溝真空ポンプの排気口側での補助排気速度を100 [ L / s ] に設定するためには、排気速度が100 [ L / s ] のブースタ真空ポンプ50を設置すればよいことになる。

【0176】

したがって、上述のとおりブースタ真空ポンプ50を設けることにより、第1排気状態において、ターボ分子ポンプ10aの第1排気口OL1での補助排気速度を適正化することができる。

【0177】

なお、第2排気状態においては、ブースタ真空ポンプ50を停止させてもよいし、そのまま稼働させてもよい。

【0178】

(実施の形態2)

図15は、実施の形態2における排気システムの構成を概略的に示した図であり、図16は、図15に示す複合分子ポンプの模式断面図である。以下、これら図15および図16を参照して、本実施の形態における排気システム1Dおよびこれに具備された複合分子ポンプ10Bの構成について説明する。

【0179】

図15に示す排気システム1Dは、上述した実施の形態1における排気システム1Aに代えて、上述した実施の形態における電子ビーム積層造形装置100に具備されるものである。排気システム1Dは、上述した排気システム1Aと比較した場合に、中間排気口OL5が形成された位置が異なる点において、主としてその構成が相違している。

【0180】

図15に示すように、排気システム1Dにおいては、複合分子ポンプ10Bの第2排気ポートOP2を構成する中間排気口OL5が、ターボ分子ポンプ10aの途中位置に設けられている。より詳細には、ターボ分子ポンプ10aの第1吸気口IL1と第1排気口OL1とを接続する部分の排気路に、中間排気口OL5が設けられている。

【0181】

具体的には、図16に示すように、複合分子ポンプ10Bは、上述した実施の形態における複合分子ポンプ10Aと同様に、ベース11、ステータ12、ケーシング13、ロータ14およびロータ駆動機構15を主として有しているが、当該複合分子ポンプ10Aとは異なり、ステータ12に第2排気管19が取付けられておらず、代わりにケーシング13に第2排気管19が取付けられている。

【0182】

これに伴い、ケーシング13の第2排気管19が取付けられた部分には、ケーシング13の内部の空間と第2排気管19とを連通する開口部が設けられている。これにより、ケーシング13に設けられた当該開口部において中間排気口OL5が構成されることになる。なお、この場合、第1吸気口IL1と中間排気口OL5との間に含まれる動翼段および静翼段の合計段数は、10段以上12段以下であることが好ましい。

【0183】

このように構成された排気システム1Dにおいては、第1排気状態において、吸気ポートIPとして構成された第1吸気口IL1から吸気されたガスが、第1排気口OL1、第2吸気口IL2、第1排気ポートOP1として構成された第2排気口OL2および第3吸気口IL3をこの順で経由して、第3排気口OL3から排気されることになり、第2排気状態においては、吸気ポートIPとして構成された第1吸気口IL1から吸気されたガスが、第2排気ポートOP2として構成された中間排気口OL5および第3吸気口IL3をこの順で経由して、第3排気口OL3から排気されることになる。

【0184】

10

20

30

40

50

したがって、第1排気状態においては、軽ガスとしてのヘリウムガスおよび当該ヘリウムガスよりも重い非軽ガスが同時に複合分子ポンプ10Bの吸気ポートIPから吸気されて補助真空ポンプ20の第3排気口OL3から排気されることになり、第2排気状態においては、主として非軽ガスが複合分子ポンプ10Bの吸気ポートIPから吸気されて補助真空ポンプ20の第3排気口OL3から排気されることになる。すなわち、第2排気状態においては、軽ガスとしてのヘリウムガスの排気量が第1排気状態に比べて著しく小さくなる反面、非軽ガスの排気量は第1排気状態とほぼ同等に維持される。

【0185】

そのため、本実施の形態における排気システム1Dとした場合にも、上述した実施の形態1において説明した効果に準じた効果が得られることになり、軽ガスおよび非軽ガスを同時に排気することができる一方で、非軽ガスを選択的に主として排気することもできる排気システムとすることができ、また、当該排気システム1Dを備えた電子ビーム積層造形装置とすることにより、造形速度や造形精度に優れつつも補助ガスとしてのヘリウムガスの消費量を抑制することができる電子ビーム積層造形装置とすることができる。

10

【0186】

(実施の形態3)

図17は、実施の形態3における排気システムの構成を概略的に示した図であり、図18は、図17に示す複合分子ポンプの模式断面図である。以下、これら図17および図18を参照して、本実施の形態における排気システム1Eおよびこれに具備された複合分子ポンプ10Cの構成について説明する。

20

【0187】

図17に示す排気システム1Eは、上述した実施の形態1における排気システム1Aに代えて、上述した実施の形態における電子ビーム積層造形装置100に具備されるものである。排気システム1Eは、上述した排気システム1Aと比較した場合に、中間排気口OL5が形成された位置が異なる点において、主としてその構成が相違している。

【0188】

図17に示すように、排気システム1Eにおいては、複合分子ポンプ10Cの第2排気ポートOP2を構成する中間排気口OL5が、ねじ溝真空ポンプ10bの途中位置に設けられている。より詳細には、ねじ溝真空ポンプ10bの第2吸気口IL2と第2排気口OL2とを接続する部分の排気路に、中間排気口OL5が設けられている。

30

【0189】

具体的には、図18に示すように、複合分子ポンプ10Cは、上述した実施の形態における複合分子ポンプ10Aと同様に、ベース11、ステータ12、ケーシング13、ロータ14およびロータ駆動機構15を主として有しているが、当該複合分子ポンプ10Aとは異なり、ステータ12が、外側ステータ部12Aと内側ステータ部12Bとに分割されており、このうちの外側ステータ部12Aに第2排気管19が取り付けられている。

【0190】

外側ステータ部12Aは、略円筒状の形状を有する金属製の部材にて構成されており、ベース11の周縁部上に設置されている。内側ステータ部12Bは、略円筒状の形状を有する金属製部材にて構成されており、外側ステータ部12Aの内側に設置されている。内側ステータ部12Bは、外側ステータ部12Aに固定されている。

40

【0191】

外側ステータ部12Aは、ロータ14の下部側ロータ部14bを取り囲むように、下部側ロータ部14bの外周面に対向して位置している。ロータ14の下部側ロータ部14bは、内側ステータ部12Bを取り囲むように位置しており、これにより内側ステータ部12Bは、ロータ14の下部側ロータ部14bの内周面に対向している。

【0192】

外側ステータ部12Aの内周面には、ねじ溝12aの上流側部分を構成する雌ねじ形状の一次側ねじ溝部12a1が設けられており、内側ステータ部12Bの外周面には、ねじ溝12aの下流側部分を構成する雄ねじ形状の二次側ねじ溝部12a2が設けられている

50

。一次側ねじ溝部 1 2 a 1 は、下部側ロータ部 1 4 b の外周面に所定の距離をもって位置しており、二次側ねじ溝部 1 2 a 2 は、下部側ロータ部 1 4 b の内周面に所定の距離をもって位置している。

【 0 1 9 3 】

内側ステータ部 1 2 B は、下部側ロータ部 1 4 b の下端を覆うように位置しており、これにより一次側ねじ溝部 1 2 a 1 と下部側ロータ部 1 4 b との間に形成される排気路と、二次側ねじ溝部 1 2 a 2 と下部側ロータ部 1 4 b との間に形成される排気路とが連通可能に接続されている。

【 0 1 9 4 】

以上により、外側ステータ部 1 2 A および内側ステータ部 1 2 B とこれに対向する部分のロータ 1 4 とによってねじ溝真空ポンプ 1 0 b が構成されることになる。

【 0 1 9 5 】

上述したように、第 2 排気管 1 9 は、外側ステータ部 1 2 A に取付けられており、外側ステータ部 1 2 A の第 2 排気管 1 9 が取付けられた部分には、ねじ溝真空ポンプ 1 0 b によって構成される排気路の途中位置と連通するように通気路が設けられている。これにより、外側ステータ部 1 2 A に設けられた当該通気路の内側端部において中間排気口 O L 5 が構成されることになる。

【 0 1 9 6 】

このように構成された排気システム 1 E においては、第 1 排気状態において、吸気ポート I P として構成された第 1 吸気口 I L 1 から吸気されたガスが、第 1 排気口 O L 1、第 2 吸気口 I L 2、第 1 排気ポート O P 1 として構成された第 2 排気口 O L 2 および第 3 吸気口 I L 3 をこの順で経由して、第 3 排気口 O L 3 から排気されることになり、第 2 排気状態においては、吸気ポート I P として構成された第 1 吸気口 I L 1 から吸気されたガスが、第 1 排気口 O L 1、第 2 吸気口 I L 2、第 2 排気ポート O P 2 として構成された中間排気口 O L 5 および第 3 吸気口 I L 3 をこの順で経由して、第 3 排気口 O L 3 から排気されることになる。

【 0 1 9 7 】

したがって、第 1 排気状態においては、軽ガスとしてのヘリウムガスおよび当該ヘリウムガスよりも重い非軽ガスが同時に複合分子ポンプ 1 0 C の吸気ポート I P から吸気されて補助真空ポンプ 2 0 の第 3 排気口 O L 3 から排気されることになり、第 2 排気状態においては、主として非軽ガスが複合分子ポンプ 1 0 C の吸気ポート I P から吸気されて補助真空ポンプ 2 0 の第 3 排気口 O L 3 から排気されることになる。すなわち、第 2 排気状態においては、軽ガスとしてのヘリウムガスの排気量が第 1 排気状態に比べて著しく小さくなる反面、非軽ガスの排気量は第 1 排気状態とほぼ同等に維持される。

【 0 1 9 8 】

そのため、本実施の形態における排気システム 1 E とした場合にも、上述した実施の形態 1 において説明した効果に準じた効果が得られることになり、軽ガスおよび非軽ガスを同時に排気することができる一方で、非軽ガスを選択的に主として排気することもできる排気システムとすることができ、また、当該排気システム 1 E を備えた電子ビーム積層造形装置とすることにより、造形速度や造形精度に優れつつも補助ガスとしてのヘリウムガスの消費量を抑制することができる電子ビーム積層造形装置とすることができる。

【 0 1 9 9 】

上述した実施の形態 1 ないし 3 およびその変形例においては、ターボ分子ポンプとネジ溝真空ポンプとが一体化されたいわゆる複合分子ポンプを用いて排気システムを構成した場合を例示して説明を行なったが、必ずしもこれらが一体化されている必要はなく、これらが別個の真空ポンプとして構成されて接続される構成としてもよい。

【 0 2 0 0 】

また、上述した実施の形態 1 ないし 3 およびその変形例において示した特徴的な構成は、本発明の趣旨に照らして許容される範囲で当然にその組み合わせが可能である。

【 0 2 0 1 】

10

20

30

40

50

また、上述した実施の形態 1 ないし 3 およびその変形例においては、本発明に係る排気システムを電子ビーム積層造形装置に適用した場合を例示して説明を行なったが、電子ビーム積層造形装置以外の装置（たとえばヘリウムリーク検査装置等）に適用することも当然に可能である。

【0202】

このように、今回開示した上記実施の形態はすべての点で例示であって、制限的なものではない。本発明の技術的範囲は特許請求の範囲によって画定され、また特許請求の範囲の記載と均等の意味および範囲内でのすべての変更を含むものである。

【符号の説明】

【0203】

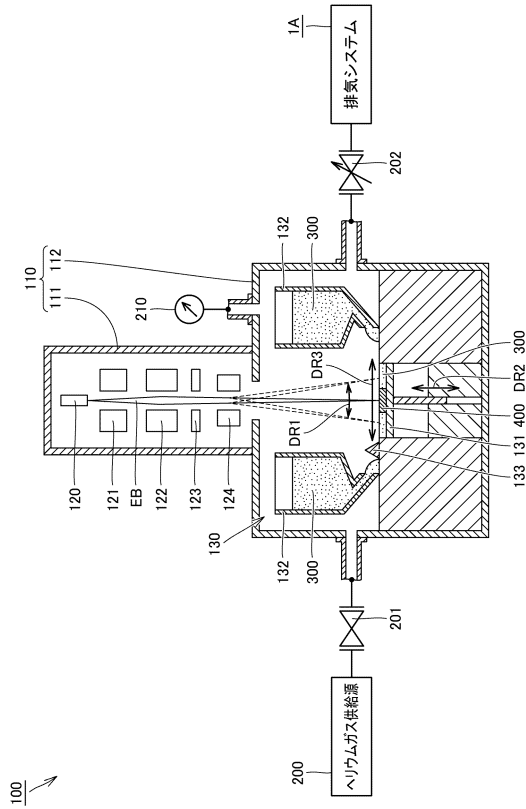
1A ~ 1E 排気システム、10A ~ 10C 複合分子ポンプ、10a ターボ分子ポンプ、10b ねじ溝真空ポンプ、11 ベース、12 ステータ、12A 外側ステータ部、12B 内側ステータ部、12a ねじ溝、12a1 一次側ねじ溝部、12a2 二次側ねじ溝部、13 ケーシング、13a スペーサ兼支持部材、14 ロータ、14a 上部側ロータ部、14b 下部側ロータ部、15 ロータ駆動機構、15a ハウジング、15b 回転シャフト、16 動翼、17 静翼、18 第1排気管、19 第2排気管、20 補助真空ポンプ、30 三方弁、40 オリフィス、50 ブースタ真空ポンプ、100 電子ビーム積層造形装置、110 チャンバ、111 第1チャンバ部、112 第2チャンバ部、120 電子銃、121 ビームアライメント、122 集束レンズ、123 対物レンズ、124 偏光器、130 積層造形部、131 ステージ、132 ホッパ、133 レーキ、200 ヘリウムガス供給源、201 開閉弁、202 調整弁、210 真空計、300 金属粉末、400 金属造形物、IP 吸気ポート、OP1 第1排気ポート、OP2 第2排気ポート、IL1 第1吸気口、OL1 第1排気口、IL2 第2吸気口、OL2 第2排気口、IL3 第3吸気口、OL3 第3排気口、IL4 第4吸気口、OL4 第4排気口、OL5 中間排気口、P1 第1ポート、P2 第2ポート、P3 第3ポート、EP1 第1排気経路、EP2 第2排気経路、EB 電子ビーム。

10

20

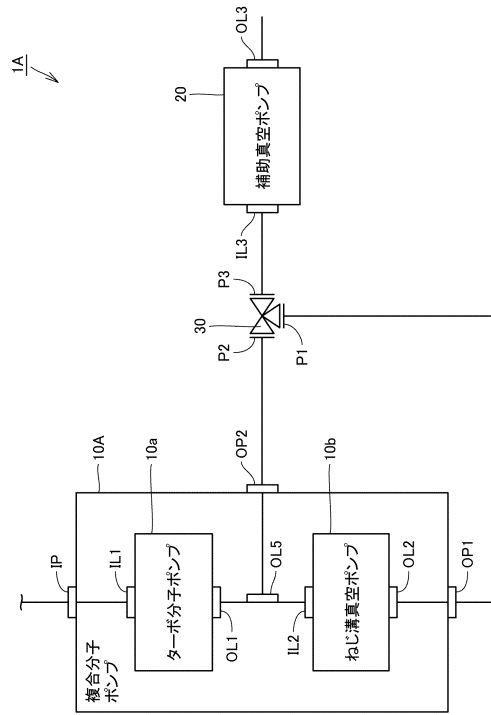
【 図 1 】

図1



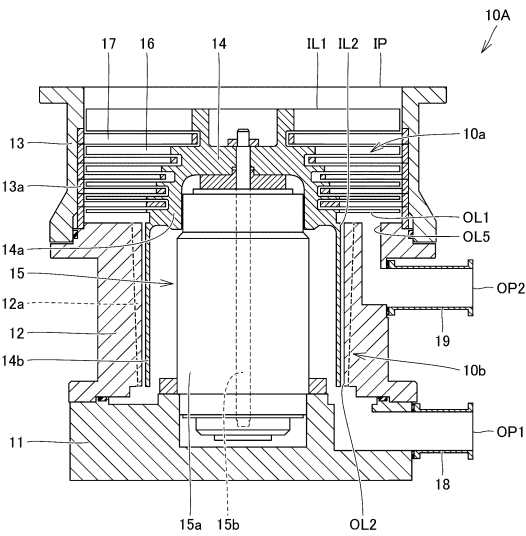
【 図 2 】

図2



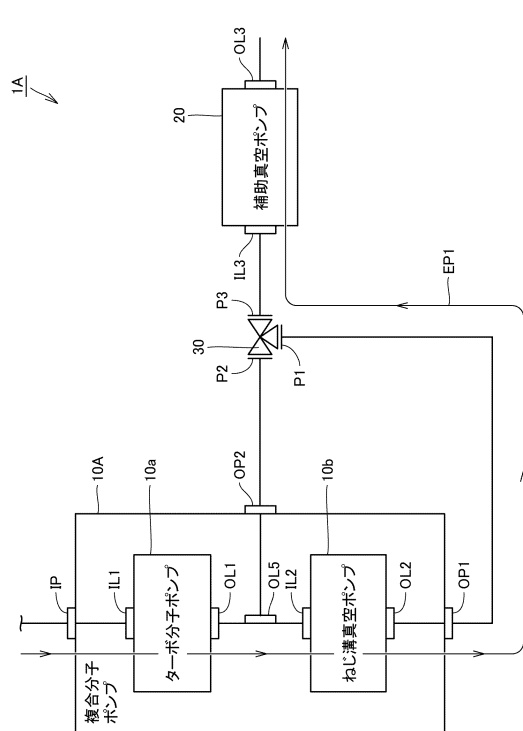
【 図 3 】

図3



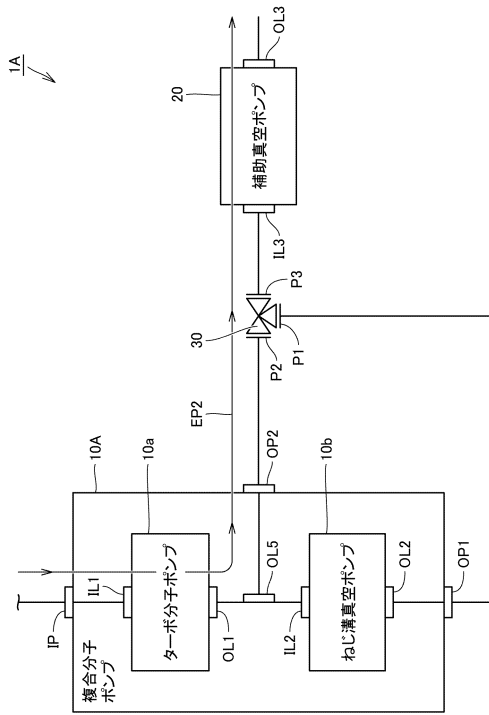
【 図 4 】

図4



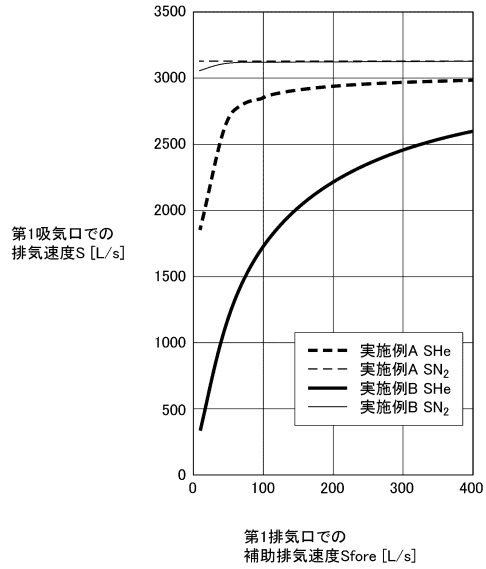
【図5】

図5



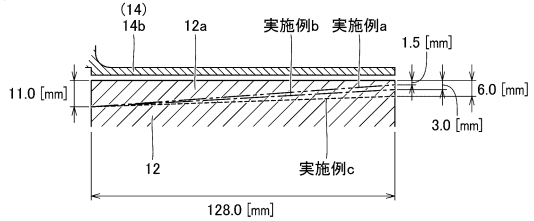
【図6】

図6



【図7】

図7



【図8】

図8

	ねじ溝の深さ [mm]		ねじ溝の軸長 [mm]	ねじ溝の深さの勾配 [-]
	上流側端部	下流側端部		
実施例a	11.0	1.5	128.0	0.074
実施例b	11.0	3.0	128.0	0.063
実施例c	11.0	6.0	128.0	0.039
実施例d	12.56	6.0	168.0	0.039

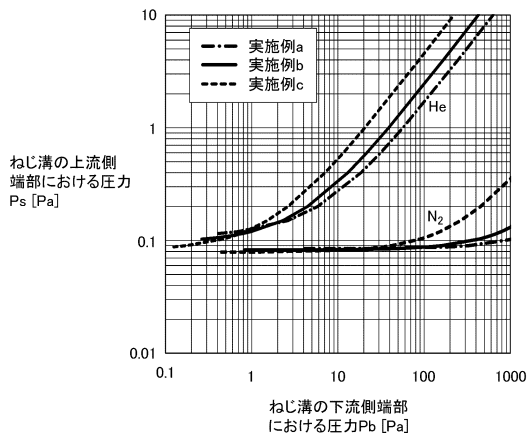
【図10】

図10

	ねじ溝の下流側端部における圧力 Pb [Pa]	ねじ溝の上流側端部における圧力 Ps [Pa]	第1排気口での補助排気速度 Sfore [L/s]	第1吸気口でのHeに対する排気速度 SHe [L/s]
実施例a	0.2	0.116	156	2060
実施例b	0.2	0.103	176	2150
実施例c	0.2	0.091	199	2230

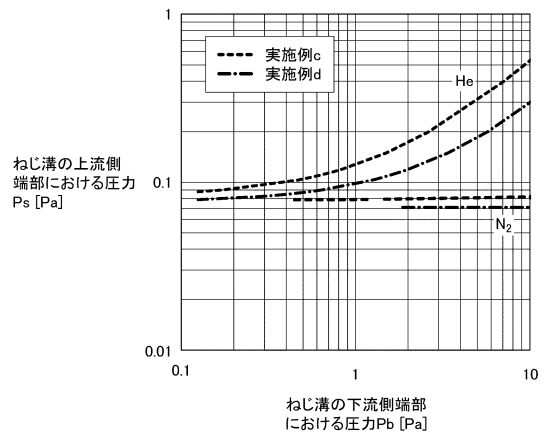
【図9】

図9



【図11】

図11



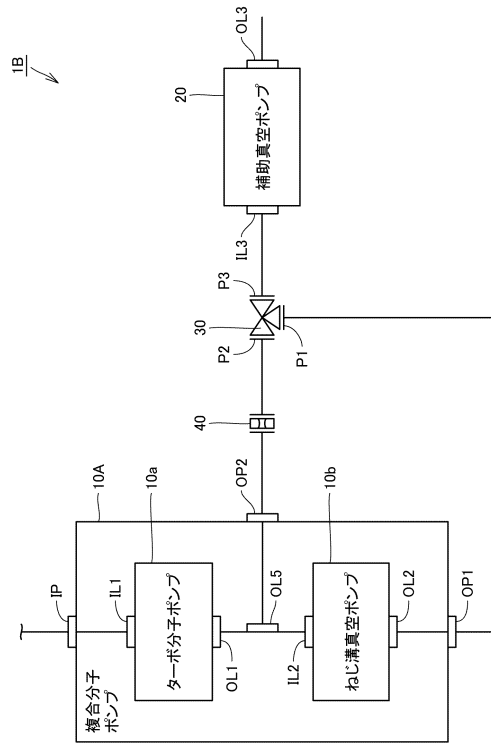
【 図 1 2 】

図12

	ねじ溝の下流側 端部における圧力 Pb [Pa]	ねじ溝の上流側 端部における圧力 Ps [Pa]	第1排気口での 補助排気速度 Sfore [L/s]	第1吸気口での Heに対する排気速度 SHe [L/s]
実施例c	0.2	0.091	199	2230
実施例d	0.2	0.081	225	2300

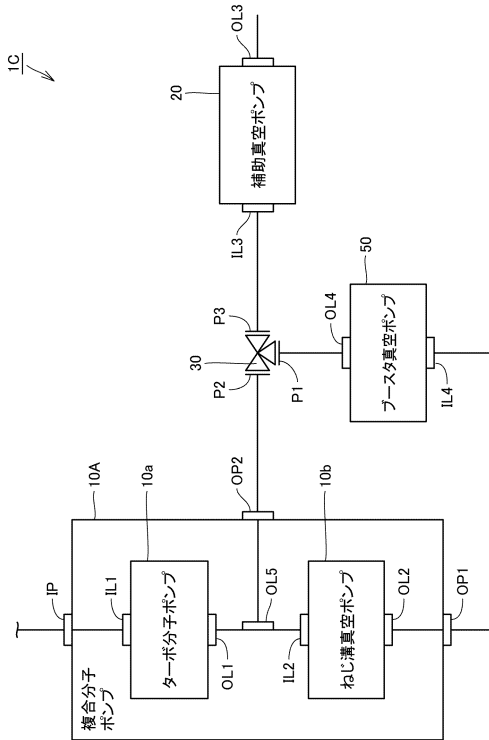
【 図 1 3 】

図13



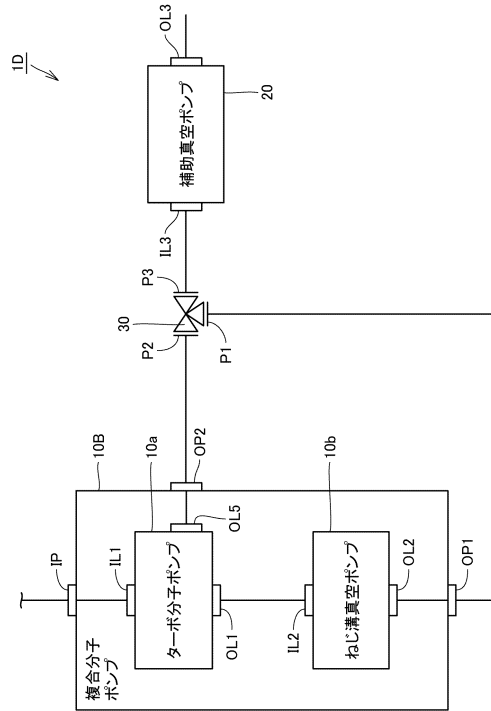
【 図 1 4 】

図14



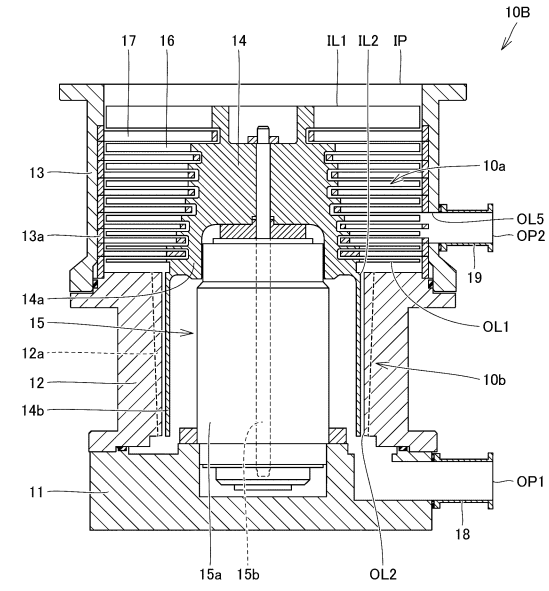
【 図 1 5 】

図15



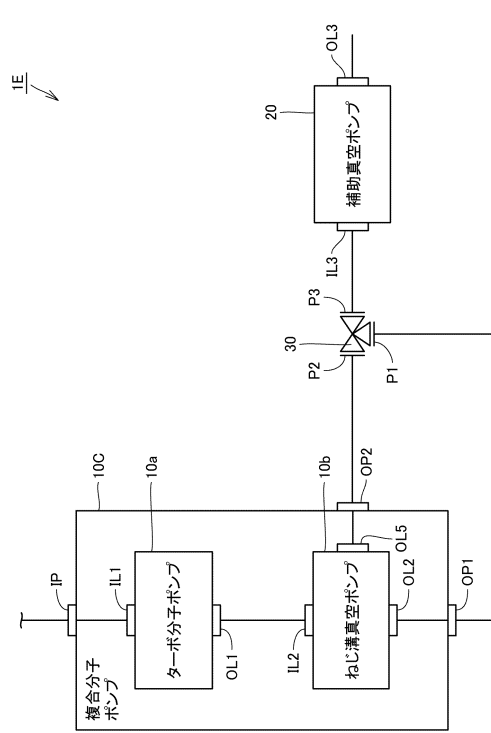
【図16】

図16



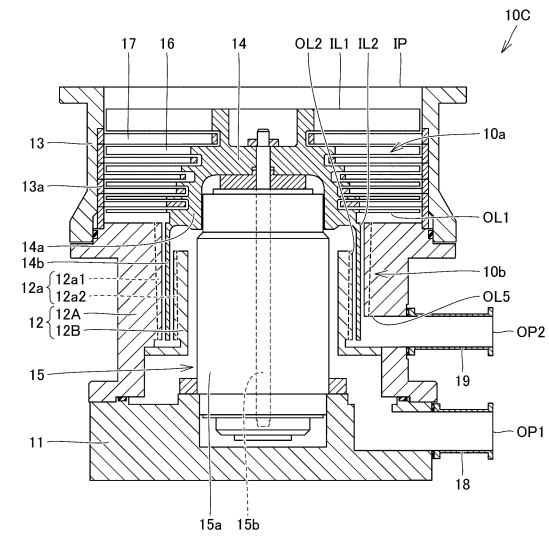
【図17】

図17



【図18】

図18



---

フロントページの続き

(51)Int.Cl. F I  
B 2 2 F 3/105

(56)参考文献 特開2005-194921(JP,A)  
特開2002-349464(JP,A)  
特開2017-020520(JP,A)  
特開2006-291794(JP,A)  
特開平10-018991(JP,A)  
特表2013-501886(JP,A)  
特表2015-507092(JP,A)  
特表2010-526694(JP,A)  
特開2010-265521(JP,A)

(58)調査した分野(Int.Cl., DB名)  
F 0 4 D 1 9 / 0 4  
F 0 4 B 3 7 / 1 6  
B 2 2 F 3 / 1 0 5